



گرانیتوئید نوع A تویه دروار، جنوب باختر دامغان: نشانه‌ای از مagma تیسم حوضه‌ی کششی پالئوتیس در پالئوزوئیک زیرین البرز

حبيب ا.. قاسمی، علیرضا خانعلی زاده

دانشکده علوم زمین، دانشگاه صنعتی شاهرود، شاهرود

(دریافت مقاله: ۸۹/۵/۳۱، نسخه نهایی: ۸۹/۱۱/۱۱)

چکیده: توده‌ی گرانیتوئیدی تویه دروار، واقع در جنوب باختر دامغان، در دامنه‌ی جنوبی زون البرز خاوری قرار دارد. این توده، علی‌رغم ظاهر یکنواخت در صحراء، دارای طیف ترکیبی دیوریت، مونزودیوریت، کوارتزمونزونیت و گرانودیوریت با برتری بخش مونزونیتی - کوارتزمونزونیتی است. برخلاف گزارش‌های قبلی مبنی بر نفوذ این توده در سازند جیروود و سن دونین بالایی برای آن، یافته‌های این پژوهش نشان می‌دهند که توده‌ی نامبرده در داخل سازنده‌های بایندر، سلطانیه، باروت، زاگون و لالون وابسته به پرکامبرین پسین - کامبرین، نفوذ کرده است. نبود دگرگونی همبrijی چشمگیر، حاکی از کمبود شاره‌ها و طبیعت نسبتاً خشک magma، حجم کم توده و صعود دیاپیری آن در حالت نسبتاً جامد و سرد، در اعمق خیلی کم پوسته است. وجود رگه‌های معدنی از اکسیدها و هیدروکاسیدهای آهن و منگنز، فلوریت، باریت، سرب و روی در سنگ‌های میزبان، غالب بودن بافت‌های دانه‌ای ریزلولور و اکنشی هیپرساللووس تا ساب‌ساللووس (پرتیتی، میرمکیتی، گرافیک و گرانوفیری)، طبیعت magma‌ای قلیایی، غنی‌شدگی از عناصر نادر خاکی سبک و ناسازگار (LILE)، مقادیر نسبتاً بالای عناصر با شدت میدان بالا (HFSE) در مقایسه با دیگر گرانیتوئیدها، داشتن CaO و MgO پائین، مقدار بالای نسبت FeO_T/MgO (غالب بودن کانی‌شناسی مافیک غنی از آهن)، بالا بودن نسبت Ga/Al و قرارگیری در موقعیت گرانیتوئیدهای نوع A در نمودارهای تمایز محیط زمین ساختی، حاکی از آن است که این توده از نوع گرانیتوئیدهای ناکوهزایی زیرگروه A₁ (وابسته به magma تیسم کافتی درون ورقه‌ای) است. شواهد مختلف حاکی از وابستگی نزدیک توده‌ی گرانیتوئیدی تویه دروار به magma تیسم محیط کافتی پالئوزوئیک زیرین (اردویسین - سیلورین) در سرزمین یکپارچه گندوانایی ایران در آن زمان، در ارتباط با آغاز تشکیل حوضه‌ی اقیانوسی پالئوتیس است که در مناطق مختلفی از ایران، به خصوص البرز و ایران مرکزی و نیز در کشورهای مجاور گزارش شده است.

واژه‌های کلیدی: گرانیتوئید، نوع A، پالئوتیس، پالئوزوئیک، دامغان، البرز.

مقدمه

بندی کرداند [۱-۹]. ولی، پیچیدگی فرایندهای تشکیل، گرانیتوئیدها را براساس معیارهای مختلف صحرایی، سنگ-نگاری، شیمیایی، خاستگاه و محیط زمین ساختی تشکیل، در یک رده‌بندی الفبایی به انواع مختلف H, A, M, S, I تقسیم-

مریخ و زهره نیز حضور دارند. بنابراین، با توجه به ویژگی‌های ژئوشیمیایی و جایگاه تشکیل، گرانیت‌وئیدهای نوع A می‌توانند از منابع مختلف نظری پوسته‌ی آذرین تحتانی (C_I)، گوشه‌ای (H) (M)، پوسته رسوی فوچانی (C_S) و یا از خاستگاه اختلاطی (H) حاصل شوند [۶، ۷، ۹، ۲۴-۱۸]. مقدار آب موجود در این گرانیت‌وئیدها نیز همواره مورد بحث بوده است. [۴] آن‌ها را تقریباً بی‌آب در نظر گرفت، ولی بررسی‌ها و داده‌های تجربی [۲۴] نشان داد که دمای آن‌ها بالای ۹۰۰ درجه سانتیگراد و مقدار آب آن‌ها نیز به ۲/۶ درصد وزنی می‌رسد. [۸] نیز، دماهای ۹۰۰ تا ۱۰۱۰ درجه سانتیگراد و مقدار آب ۱ تا ۲ درصد وزنی را برای آن‌ها اعلام کرد.

در سال‌های اخیر، بعضی از متخصصین گرانیتها [۲۱، ۲۵، ۲۱] به برخی ضعف‌های رده‌بندی الفایی (S, I, M, H, C_S, A) اشاره کرده و پیشنهاد کرده‌اند که این رده‌بندی کنار گذاشته شود. برخی از این ضعف‌ها عبارتند از: (۱) تشخیص انواع M, S, I, C و H بر اساس استنباط مواد محل خاستگاه استوار است، در حالی که تشخیص نوع A به این امر ارتباطی ندارد و براساس شناخت محیط زمین‌ساختی تشکیل آن است. (۲) فرآیندهای آذرین مختلف، نظری تبلور جدایشی، اختلاط، هضم و آلایش، می‌توانند سنگ‌های وابسته‌ای ایجاد کنند که در بیش از یک نوع گرانیت‌وئید، رده‌بندی شوند و (۳) به دلیل ماهیت ناهمگن پوسته، پتانسیل یک گرانیت معین برای این‌که به تنها‌ی از یک والد آذرین یا رسوی مشتق شود، اندک است. به همین دلیل، توصیف، تشخیص و در نهایت، رده‌بندی هر توده‌ی گرانیت‌وئیدی خاص باید با تکیه بر همه‌ی جهت‌ها و توجه به ویژگی‌ها و جایگاه زمین‌ساختی حضور همان توده و بیشتر به صورت توصیفی باشد.

گرانیت‌وئیدهای نوع A توسط پژوهشگران مختلف در نقاطی از ایران و با سن‌های گوناگون، گزارش شده‌اند [۲۲-۲۶، ۳۴]. گرانیت‌وئید نوع A تویه‌دروار، طیفی از سنگ‌های آذرین حدواسط- اسیدی را در داخل سازندهای پالئوزوئیک زیرین دامنه جنوبی زون البرز شرقی، در جنوب باختر دامغان تشکیل داده است. [۲۷] برای اولین بار به بررسی سنگ‌شناسی این توده پرداخت و سن پالئوزوئیک زیرین (احتمالاً اردوویسین- سیلورین) و ماهیت گرانیت‌وئیدی نوع A آن را گزارش کرد. نظر به محدودیت امکانات و روش‌ها در این بررسی و نیاز به بررسی

ماگماتیسم دوگانه (گوشه‌ای و پوسته‌ای) در بسیاری از محیط‌های پوسته‌ی قاره‌ای و انجام فرایندهای اختلاط، هضم و آلایش مانگماهی در این محیط‌ها، سبب می‌شوند که در بسیاری از موارد، یک توده‌ی گرانیت‌وئیدی، محصول مشترک ترکیبی از این فرایندهای مختلف بوده و در نتیجه، دارای آثار و نشانه‌هایی مشترک از انواع مختلف گرانیت‌وئیدها باشد [۷، ۱۰-۱۷]. یکی از نکات اساسی در رده‌بندی‌های گرانیت‌وئیدها، توجه به معیارهای اصلی مبنای این رده‌بندی‌هاست. گرانیت‌وئیدهای نوع S و M به ترتیب بر محل خاستگاه‌های کاملاً مشخص و متمایز پوسته‌ای و گوشه‌ای اشاره دارند، اما گرانیت‌وئیدهای نوع I به عنوان نوع با خاستگاه آذرین، ممکن است از جدایش مانگماهی با منابع گوشه‌ای (نوع M) و یا از ذوب سنگ‌های آذرین پوسته زیرین یا پوسته‌ی اقیانوسی فرورانده شده، حاصل شوند. به همین دلیل، بهتر است از واژگان M برای گرانیت‌وئیدهای C_S گوشه‌ای، C برای گرانیت‌وئیدهای با خاستگاه پوسته‌ای، C_I برای انواع حاصل از ذوب پوسته‌ی فوچانی که در حقیقت همان گرانیت‌وئیدهای نوع S هستند و C_H برای انواع حاصل از ذوب پوسته زیرین یا ذوب پوسته‌ی اقیانوسی فرورانده شده، که در واقع برخی از گرانیت‌وئیدهای نوع I هستند، استفاده شود [۹-۱۳]. گرانیت‌وئیدهای نوع H، خاستگاه دورگه دارند و ممکن است، نسبت‌های مختلفی از هر رگه یا ریشه‌های خود را به ارث برده باشند. در نتیجه، این گروه نیز بسته به میزان مشارکت منابع (رگه‌ها یا ریشه‌های) مختلف پوسته‌ای و گوشه‌ای خود، به انواع گوناگون Hm, Hs, Hms, Hss و غیره، تقسیم‌بندی می‌شوند [۱۲، ۱۳، ۷].

گرانیت‌وئیدهای نوع A، اصولاً براساس محیط زمین‌ساختی تفکیک شده‌اند. آن‌ها، دارای ماهیت قلیایی، نسبتاً بی‌آب و ناکوهزایی بوده و عموماً در محیط‌های کششی کافتی تشکیل می‌شوند [۱، ۸]. طبق بازنگری‌های انجام شده توسط [۵]، این گروه شامل گرانیت‌ها و سنگ‌های نفوذی وابسته‌ی ناکوهزایی هستند که در محیط‌های زمین‌ساختی ناوابسته به فرورانش یا فرآیندهای همگرایی ورقه‌ها، حضور دارند. ولی به اعتقاد [۱۱]، این سنگ‌ها در جایگاه‌های زمین‌ساختی مختلف نظری پس از برخورد، سپرها، کافت‌ها، حاشیه‌های غیرفعال، مناطق کششی حاشیه‌های فعل، حاشیه‌های واگرای اقیانوسی (پشت‌های)، جزایر اقیانوسی و بالاخره در دیگر شاره‌های زمین مانند از قبیل ماه،

ادامه جدول ۱

Sample	Da-Tu2	Da-Tu10	Da-Tu6	Tu-Da13	Tu-Da29	Tu-Dal	Tu-Da22	Da-Tu8	Tu-Da12
Ba	۸۹۳	۹۶۵	۱۱۰۰	۸۵۱	۷۹۵	۷۸۸	۸۰۷	۷۰۱	۷۹۹
Be	۳	۳	۲	۲	۳	۳	۳	۳	۳
Co	۱۰	۱۱	۷	۱۲	۱۲	۱۲	۱۲	۱۲	۱۰
Cs	۱,۴	۲,۳	۱	۲,۷	۱,۲	۱,۸	۳	۲,۵	۲,۱
Ga	۲۵	۲۴	۲۴	۲۴	۲۵	۲۴	۲۴	۲۴	۲۳
Hf	۹	۱۱,۱	۹	۸,۹	۹,۲	۸,۷	۹,۸	۸,۶	۹,۷
Nb	۳۷,۷	۴۵,۵	۴۲,۴	۴۷,۵	۴۲,۷	۴۰,۲	۴۵,۵	۴۳,۱	۴۰,۳
Rb	۹۶	۱۱۸	۸۸	۱۰۳	۷۸	۸۶	۱۱۳	۱۰۴	۹۳
Sn	۳	۵	۲	۴	۸	۳	۵	۵	۳
Sr	۲۷۰	۲۲۴	۱۹۷	۱۲۱	۲۳۸	۱۶۱	۱۸۰	۱۵۳	۱۴۸
Ta	۲۶۲	۳,۰۳	۲۶۲	۲,۷۷	۲۶۸	۲,۵۹	۲,۸۳	۲۶۸	۲,۷۶
Th	۱۰,۲	۱۳,۶	۱۰,۲	۱۱	۱۱,۲	۱۰,۹	۱۰,۹	۱۰,۶	۱۲
U	۳,۴۹	۵,۵۱	۳,۴۹	۳,۴۱	۳,۷۹	۴,۶۶	۳,۹۶	۳,۵	۳,۵۶
V	۸۴	۶۱	۶۲	۷۳	۷۴	۶۱	۶۵	۶۶	۵۹
W	۱,۳	۲۶	۱,۳	۲۵	۴,۳	۰,۷	۲,۱	۲,۳	۲,۴
Zr	۳۳۸	۴۰,۲	۳۵۲	۳۳۰	۳۶۷	۳۲۰	۳۹۶	۳۳۸	۳۵۳
Y	۴۷,۵	۵۶,۲	۴۲,۳	۵۶,۴	۵۲,۲	۴۹,۵	۵۵,۵	۵۰	۴۹,۴
La	۵۲,۱	۶۰,۹	۵۲,۱	۴۶,۶	۴۸,۷	۵۲,۲	۵۸,۹	۵۱,۶	۶۷,۲
Ce	۱۰,۴۵	۱۲۴,۴	۱۰,۴۵	۹۷,۹۹	۱۰,۴۵	۱۰,۶۹	۱۲۱,۸	۱۰۰,۶	۱۳۱,۱
Pr	۱۱,۸	۱۴	۱۱,۸	۱۱,۲	۱۲,۴	۱۱,۹	۱۲,۸	۱۱,۱	۱۴,۴
Nd	۴۷,۷	۵۷,۴	۴۷,۷	۴۸,۴	۵۲,۵	۴۹	۵۵,۸	۴۶,۳	۵۸,۹
Sm	۹,۴۲	۱۱,۸	۹,۴۲	۱۰,۸	۱۱	۱۰,۵	۱۱,۵	۹,۸۲	۱۱,۵
Eu	۲,۶۳	۲,۸۸	۲,۸۳	۲,۷	۲,۶۶	۲,۵۴	۲,۹	۲,۳۹	۲,۷۹
Gd	۹,۴۹	۱۱,۳	۹,۴۹	۱۱	۱۱,۳	۱۰,۳	۱۱,۲	۹,۷	۱۰,۸
Tb	۱,۵	۱,۸۶	۱,۵	۱,۸۶	۱,۷۶	۱,۶۹	۱,۷۵	۱,۵۹	۱,۶۸
Dy	۷,۸۴	۹,۷۲	۷,۸۴	۹,۹۱	۹,۴۸	۸,۹۲	۹,۲۲	۸,۲۵	۸,۹۴
Ho	۱,۴۸	۱,۸۳	۱,۴۸	۱,۸۴	۱,۷۲	۱,۶۹	۱,۷۴	۱,۵۷	۱,۶۳
Er	۴,۱۵	۵,۱۴	۴,۱۵	۵,۱۷	۴,۹۲	۴,۹	۴,۹۶	۴,۴۳	۴,۷۳
Tm	۰,۵۹	۰,۷۲	۰,۵۹	۰,۷۱	۰,۷	۰,۶۸	۰,۷	۰,۶۲	۰,۶۹
Yb	۳,۶	۴,۴	۳,۶	۴,۱۹	۴,۲۵	۴,۲۱	۴,۲۵	۳,۶۳	۴,۲۵
Lu	۰,۷۵	۰,۷۶	۰,۵۷	۰,۶۵	۰,۶۲	۰,۶۱	۰,۶۴	۰,۵۳	۰,۶۴
Pb	۱۸	۱۸	۱۸	۱۸	۱۷	۱۱	۱۸	۱۸	۱۱
Cu	۲۹	۱۰	۳۳	۴۶	۳۷	۳۴	۱۵	۲۰	۲۶
Zn	۱۳۸	۲۷۵	۴۱۶	۱۵۷	۱۳۸	۷۷	۱۵۴	۲۹۲	۱۳۳
Sb	۰,۹	۰,۷	۰,۷	۰,۶	۰,۹	۰,۴	۰,۸	۰,۸	۱,۳
Bi	۰,۱	۶,۳	۰,۱	۳,۳	۲,۵	۰,۳	۳,۲	۰	۱,۸
Tl	۰,۴۶	۰,۵۹	۰,۴۶	۰,۵۱	۰,۳۳	۰,۴۷	۰,۴۶	۰,۵۲	۰,۵۱
Sc	۱۹	۲۱	۲۰	۱۹	۲۲	۲۱	۲۳	۲۰	۲۱

جامع‌تر این توده، در این پژوهش بررسی‌های تکمیلی دقیق‌تر روی آن صورت گرفت. بر همین اساس، پس از انجام بررسی‌های دقیق صحرایی و سنگ‌شناسی، تعداد ۲۱ نمونه با ترکیب مختلف و دارای حداقل هوازدگی، انتخاب و در آزمایشگاه‌های معابر Actlab و ALS کانادا برای عناصر اصلی، کمیاب و کمیاب خاکی به روش ICP-MS مورد بررسی قرار گرفتند (جدول ۱).

جدول ۱ نتایج آنالیز شیمیایی اکسیدهای عناصر اصلی (به درصد وزنی) نمونه‌های توده‌ی نفوذی تویه دروار.

Sample	SiO ₂	Al ₂ O ₃	FeO	FeOtotal	MgO	CaO	NaO	K ₂ O	TiO ₂	P ₂ O ₅	MnO	LOI
Da-Tu2	۶۰,۰,۰,۵	۱۶,۷۰	۷,۳۴	۱,۶۷	۹,۰,۱	۲,۴۰	۲,۵۲	۳,۰,۷	۲,۲۴	۰,۵۰	۰,۰,۹	۲,۸۵
Da-Tu10	۶۰,۰,۱,۰	۱۵,۶۸	۸,۳۶	۱,۸۹	۱۰,۲۵	۲,۴۱	۱,۸۲	۲,۹۰	۴,۷۵	۲,۳۴	۰,۵۹	۰,۱۷
Da-Tu6	۵۸,۸,۲	۱۶,۹۳	۷,۸۹	۱,۷۹	۹,۶۸	۲,۶۴	۳,۴۹	۳,۲۲	۴,۲۳	۲,۲۹	۰,۵۴	۰,۱۷
Tu-Da13	۵۸,۹,۰	۱۶,۹۷	۸,۴۷	۱,۹۲	۱۰,۳۹	۲,۴۳	۲,۲۳	۲,۵۸	۴,۴۸	۲,۳۶	۰,۵۵	۰,۱۰
Tu-Da29	۵۹,۸,۹	۱۶,۰,۸	۷,۶۵	۱,۴۲	۹,۰,۷	۲,۴۴	۲,۶۱	۳,۹۷	۳,۸۷	۲,۳۳	۰,۶۳	۰,۱۲
Tu-Dal	۵۹,۸,۳	۱۶,۹۲	۷,۳۶	۱,۶۷	۹,۰,۳	۲,۵۱	۴,۱۱	۲,۸۱	۳,۸۶	۲,۲۵	۰,۵۶	۰,۱۲
Tu-Da22	۵۸,۸,۰	۱۷,۰,۳	۸,۸	۱,۹۸	۱۰,۷۸	۲,۰,۲	۲,۷۸	۳,۰,۱	۳,۸۰	۲,۳۵	۰,۵۹	۰,۱۳
Da-Tu8	۵۹,۲,۴	۱۶,۱,۲	۸,۹۷	۲,۰,۱	۱۰,۹۸	۲,۱,۸	۲,۸۴	۲,۴۸	۴,۱۳	۲,۳۶	۰,۵۹	۰,۱۸
Tu-Da12	۵۷,۸,۷	۱۸,۱,۲	۷,۹۳	۱,۸	۹,۷۳	۲,۷۷	۴,۰,۷	۲,۳۶	۴,۲۲	۲,۲۹	۰,۵۴	۰,۱۶
Tu-Da17a	۵۷,۸,۸	۱۷,۹,۹	۸,۶۲	۱,۹۴	۱۰,۰۶	۲,۴۳	۲,۳۹	۲,۵۲	۴,۲۶	۲,۳۳	۰,۵۴	۰,۱۰
Da-Tu7	۵۸,۰,۵	۱۷,۶,۵	۷,۰,۷	۱,۶۴	۸,۷۱	۲,۶۴	۴,۲۲	۳,۹۱	۳,۳۴	۲,۲۲	۰,۵۵	۰,۱۱
Tu-Da24	۵۵,۹,۴	۱۷,۱,۴	۱۰,۶,۱	۲,۳۴	۱۲,۹۵	۲,۷۷	۱,۹۲	۲,۲۸	۴,۵۶	۲,۴۰	۰,۶۶	۰,۱۸
Tu-Da17b	۵۷,۸,۹	۱۷,۹,۷	۸,۶۵	۱,۹۴	۱۰,۰۹	۲,۴۳	۲,۳۷	۲,۵۵	۴,۲۵	۲,۳۰	۰,۵۴	۰,۱۱
D1	۵۹	۱۵,۷۸	۱,۹۴	۳,۸۹	۵,۸۳	۲,۸۹	۳,۴۵	۴,۰,۳	۴,۷۱	۲,۲۳	۰,۵۲	۰,۰,۴
D2	۶۰,۰	۱۴,۸,۳	۰,۳۰	۳,۵۵	۸,۸۵	۲,۸۰	۲,۳۶	۳,۸۹	۳,۲۱	۲,۱۲	۰,۴۴	۰,۰,۹
D5	۵۸,۴	۱۵,۱,۶	۰,۶۶	۳,۸۹	۹,۰۵	۲,۸۹	۲,۸۴	۳,۱۲	۴,۶۶	۲,۲۲	۰,۵۱	۰,۰,۷
D7	۵۷,۸	۱۵,۲,۴	۰,۳۴	۵,۳۴	۱۰,۶۸	۲,۹۹	۲,۶۶	۲,۶۲	۴,۴۳	۲,۲۸	۰,۴۵	۰,۱۳
D9	۵۸,۵	۱۲,۲,۹	۶,۲۳	۳,۵۱	۹,۷۴	۲,۶۱	۳,۷۴	۲,۹۱	۳,۷۸	۲,۲۵	۰,۴۸	۰,۱۹
D10	۵۸,۲	۱۵,۲,۸	۰,۵۷	۳,۵۷	۹,۱۴	۲,۲۷	۴,۵۳	۳,۰,۲	۴,۰,۱	۲,۲۶	۰,۵۰	۰,۰,۲
D11	۵۹	۱۵,۱,۷	۰,۲۳	۴,۲۸	۹,۰,۵۱	۲,۶۰	۳,۸۵	۳,۰,۱	۳,۸۷	۲,۲۴	۰,۴۷	۰,۱۷
D13	۶۰,۳	۱۴,۴,۵	۴,۵۶	۴,۲۱	۸,۷۷	۲,۰,۶	۳,۹۲	۳,۱	۳,۶۹	۲,۱۷	۰,۴۳	۰,۰,۶

ادامه جدول ۱

Sample	D10	D11	D13
Ba	۷۸۲	۷۴۹	۵۸۳
Be			
Co	۱۲۶	۱۲۸	۱۰۷
Cs	۱۲۲	۱۶۴	۲۸۶
Ga	۲۴۲	۲۵۲	۲۲۸
Hf	۷۹	۸۴	۲۹
Nb	۳۷۲	۳۸۲	۳۳
Rb	۹۶۷	۱۰۳۵	۹۳۲
Sn	۳	۴	۲
Sr	۱۸۶	۲۰۴	۱۹۲
Ta	۲۳	۲۴	۱
Th	۱۰۶	۱۱۵۵	۲۳۴
U	۲۷	۲۷۸	
V	۷۱	۶۸	۵۹
W	۲	۲	۰۵
Zr	۳۳۱	۳۴۲	۳۱۱
Y	۳۸۵	۳۹۶	۳۵۸
La	۴۷۲	۵۴	۱۱۷
Ce	۹۶	۱۰۹۵	۱۴۴
Pr	۱۲۳۵	۱۴	۵۲۹
Nd	۴۸۸	۵۴۸	۱۰۱۵
Sm	۱۰۰۵	۱۱۱	۲۳۸
Eu	۲۵۳	۲۶۸	۹۶۲
Gd	۹۲۱	۱۰۰۵	۱۰۴۶
Tb	۱۴۸	۱۵۶	۰۵۶
Dy	۷۷۱	۷۹۱	۱۴
Ho	۱۴۸	۱۵۷	۳۹۶
Er	۴۱۹	۴۴۳	۰۵۳
Tm	۰۵۹	۰۶۲	۰۳۵
Yb	۳۵۷	۳۷	۰۴۹
Lu	۵۷	۵۷	۷۸
Pb	۱۰	۱۱	
Cu	۵	۱۰	۵
Zn	۱۳۹	۱۳۴	۱۳۷
Sb			
Bi			
Tl	۰۵	۰۵	۰۵
Sc			

زمین‌شناسی

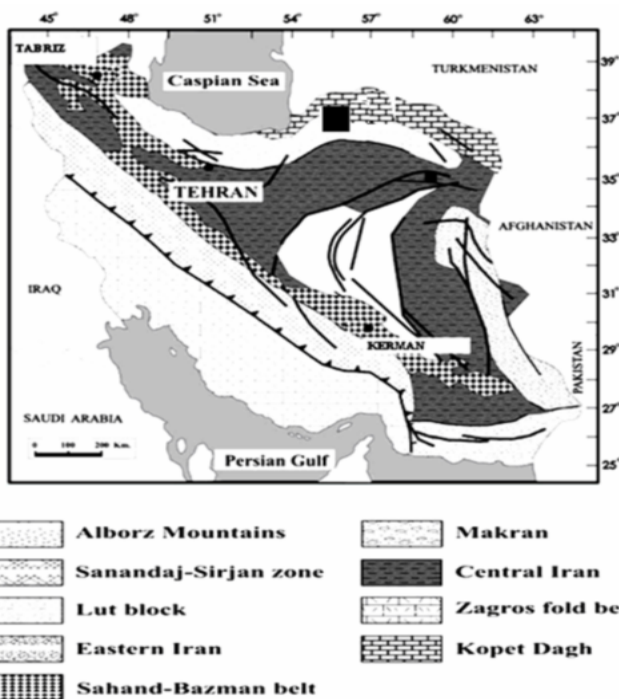
منطقه‌ی مورد بررسی در محدوده‌ی طول‌های جغرافیایی "۱۰° ۳۶' تا "۳۰° ۵۳' خاوری و عرض‌های جغرافیایی "۱۰° ۰۶' ۳۶' تا "۱۲° ۳۰' ۳۶' شمالی (شکل ۱-ب)، در ۴۵ کیلومتری جنوب‌باخته دامغان در شمال رستمیه دروازه استان سمنان قرار گرفته است. در تقسیم‌بندی واحدهای ساختاری ایران [۳۵]، این منطقه در دامنه‌ی جنوبی زون البرز خاوری قرار دارد (شکل ۱-الف).

ادامه جدول ۱

Sample	Tu-Da17a	Da-Tu7	Tu-Da24	Tu-Da17b	D1	D2	D5	D7	D9
Ba	۸۰	۸۰	۱۰۴۰	۷۸۴	۶۴۰	۸۳۴	۸۷۸	۵۶۳	۷۶۹
Be	۳	۳	۳	۳					
Co	۱۱	۷	۱۴	۱۱	۷۸	۸۱	۱۲۱	۱۴۵	۱۳۴
Cs	۲۴	۱۸	۳۶	۲۴	۱۰۸	۱۹	۱۱۱	۳۲۲	۱۲۲
Ga	۲۴	۲۵	۲۵	۲۴	۲۴۸	۲۴۷	۲۵۲	۲۴۱	۲۳۶
Hf	۹	۹۰۵	۹۸	۹۲	۱۰	۷۹	۸۲	۸۷	۸۳
Nb	۴۲۹	۴۱۷	۴۴۱	۴۳۱	۴۰	۳۷۴	۴۱۳	۳۵	۳۰۵
Rb	۹۵	۸۰	۱۵۷	۹۳	۷۵۹	۵۸۶	۱۲۶	۱۳۹	۹۴
Sn	۵	۶	۵	۵	۲	۲	۶	۳	۳
Sr	۱۱۴	۱۲۷	۱۴۳	۱۱۲	۱۰۳۵	۱۵۷	۲۳۴	۱۰۱	۱۶۲
Ta	۲۷۸	۲۷۲	۲۸۳	۲۸۶	۲۵	۲۳	۲۶	۲۳	۲۳
Th	۱۰۱	۱۰	۱۰۹	۱۰۳	۱۱۸	۱۱۸	۱۱	۹۸۶	۱۰۶
U	۳۲۸	۲۷۵	۳۹۶	۳۳۱	۲۶۹	۲۴	۲۶۲	۲۶۹	۳۱۶
V	۷۱	۸۶	۶۸	۷۰	۵۶	۵۲	۵۶	۶۸	۶۹
W	۲۴	۰۹	۲۱	۲۵	۱	۱	۲	۲	۳
Zr	۳۴۱	۳۶۲	۳۵۸	۳۴۰	۴۰۴	۳۱۸	۲۲۴	۳۳۹	۳۳۷
Y	۵۰۷	۵۲۱	۴۸۱	۵۲۷	۳۷۴	۳۶۸	۴۲۹	۳۷۲	۳۶۸
La	۳۳۸	۳۳۴	۵۸۹	۳۴۳	۴۹۱	۷۲۳	۴۸۸	۵۱	۳۹۶
Ce	۷۳۴۲	۷۴۰۹	۱۲۱۸	۷۳۰۴	۱۰۲۵	۱۵۴۵	۱۰۳	۱۰۵۵	۸۰۲
Pr	۸۷۷	۹۴۷	۱۳۸	۸۹۵	۱۳۱	۱۹۱۵	۱۳۶۵	۱۳۲۵	۱۰۲۵
Nd	۳۸۱	۴۱۹	۵۵۸	۳۹۲	۵۱۵	۷۲	۵۴۱	۵۰۶	۴۰۱
Sm	۹۰۲	۱۰	۱۱۵	۹۳۱	۱۰۵	۱۲۲	۱۱۶۵	۱۰۱۵	۸۹
Eu	۲۳۶	۲۴۵	۲۹	۲۴۶	۲۴۸	۲۸۳	۲۶۲	۲۵۲	۲۶
Gd	۱۰	۱۰۴	۱۱۲	۱۰۱	۹۷	۱۰۹۵	۱۰۴	۹۲۷	۸۲۶
Tb	۱۷۲	۱۷	۱۷۵	۱۷۱	۱۵۳	۱۶۴	۱۷	۱۵۴	۱۴۳
Dy	۹۳۶	۹۱۲	۹۳۲	۹۲۷	۷۶۸	۷۵۱	۸۴۳	۷۵۱	۷۴۱
Ho	۱۷۳	۱۷۱	۱۷۴	۱۷۵	۱۵۱	۱۴۷	۱۶۶	۱۴۹	۱۵۱
Er	۴۹۴	۴۷۲	۴۹۶	۵۰۱	۴۳۷	۴۲۷	۴۶۵	۴۱۵	۴۳۱
Tm	۰۷۲	۰۶۷	۰۷	۰۷۲	۰۶۱	۰۵۷	۰۶۳	۰۵۸	۰۶۱
Yb	۴۲۶	۳۹۷	۴۲۵	۴۲۸	۳۶۶	۳۵۲	۳۸۲	۳۴۱	۳۶۶
Lu	۰۶۳	۰۵۹	۰۶۴	۰۶۵	۰۵۸	۰۵۶	۰۶۲	۰۵۵	۰۵۷
Pb	۷	۱۸	۱۸	۱۶	۱۵	۱۰	۱۴۳	۴۱	۱۷
Cu	۲۶	۳۴	۲۹	۳۵	۱۳	۱۴	۲۷	۱۹	۵
Zn	۱۵۱	۶۲	۱۲۹	۱۴۷	۴۳	۱۵۳	۷۱۳	۳۰۶	۱۴۲
Sb	۰۵	۰۷	۱۱	۰۵					
Bi	۳	۱۲	۳۲	۲۲					
Tl	۰۴۹	۰۴۴	۰۴۶	۰۴۸	۰۵	۰۵	۰۵	۰۵	۰۵
Sc	۲۰	۲۱	۲۲	۱۹					

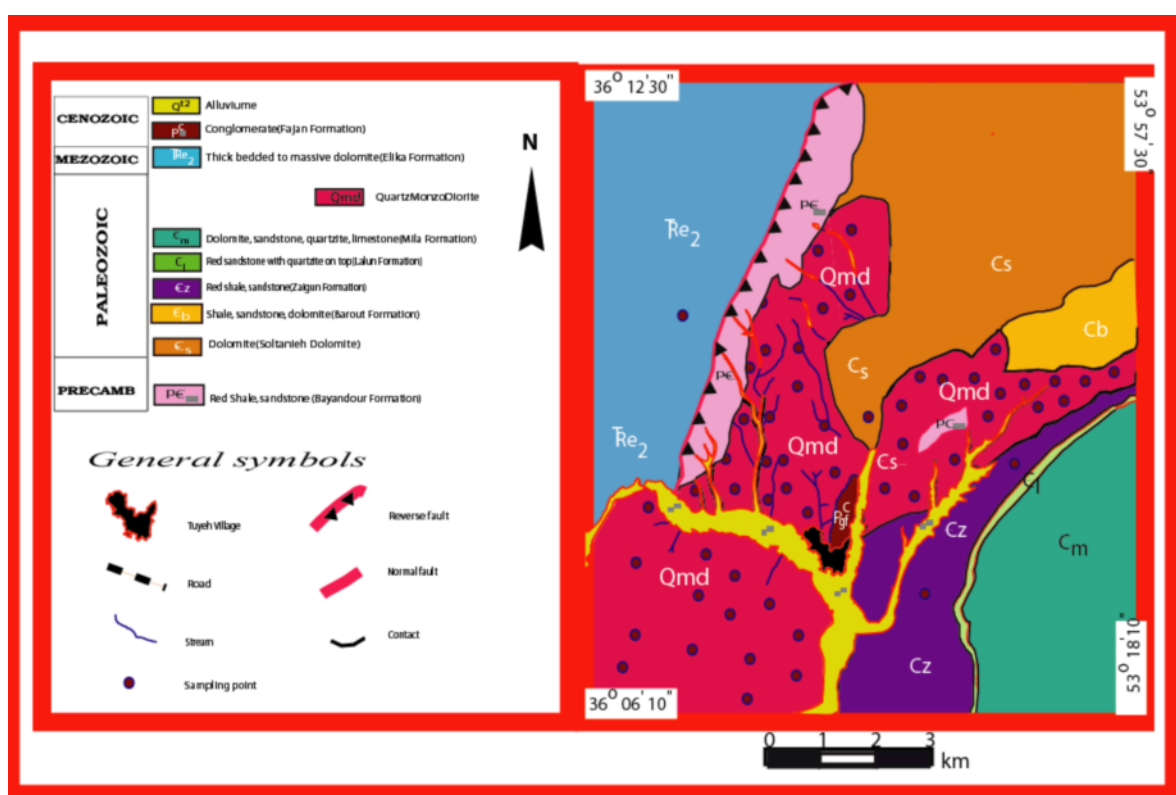
سازنده‌ای سلطانیه و باروت (شکل ۲-الف، ب، ت) نفوذ کرده است. مرز شمالی سنگمیزبان آن (سازند بایندر)، با سازند الیکا از نوع گسلی بوده و در واقع سازند الیکا به سمت جنوب روی این توده و واحدهای پالئوزوئیک زیرین میزبان آن، رانده شده است (شکل‌های ۱-ب، ۲-الف). بعلاوه، آپوفیزهایی از توده به شکل دایک و سیل در داخل سازندهای زاگون و لالون نیز دیده می‌شوند (شکل ۲-ث). در محل تماس توده با سنگمیزبان (سازندهای سلطانیه و باروت)، آثار معدنی به صورت کانه‌زایی آهن و منگنز (شکل ۲-و)، فلوریت و باریت، سرب و روی، دیده می‌شوند [۲۷، ۲۸]. در ۳۰ کیلومتری جنوب این منطقه، در بزکوه و کوه وطن دامغان، در زون ایران مرکزی، سنگ‌های آذرین مشابهی با همین موقعیت چینه‌شناسی دیده می‌شوند [۴۴-۴۳]. در منطقه‌ی ده ملا در جنوب غرب شاهروд نیز در داخل سازندهای سلطانیه و باروت، دایک‌های دیبابازی دیده می‌شوند. با توجه به عدم حضور این سنگ‌های ماگمایی در افق‌های چینه‌شناسی بالاتر، به نظر می‌رسد که آن‌ها به ماگماتیسم گستردۀ زون کششی-کافتی کامبرین و اردوویسین-سیلورین ایران مرکزی [۴۸-۴۵، ۳۱، ۳۰] و البرز [۴۹، ۵۰] وابسته باشند. [۵۰] با بررسی دقیق شیسته‌های گرگان، سن تشکیل سنگ‌مادر آن‌ها را به اردوویسین پایانی نسبت داده و بازارالت‌های فراوان موجود در آن را از نوع بازالت‌های طغیانی وابسته به رخدادهای آتشفشاری وابسته به کافت اردوویسین پایانی دانسته که حاشیه‌ی شمال گندوانا را در خلال فرایند بازشدن پالئوتیس متأثر ساخته است. بررسی صحرایی بخش مافیک شیسته‌های گرگان توسط مؤلف اول مقاله، حاکی از وجود یک مجموعه گابریوی-دیبوریت-مونزونیتی و دیبابازی در داخل دنباله‌ی ضخیم بازالتی این شیسته‌است. [۵۱] وقوع ماگماتیسم آکالان پتاس قلیایی نفوذی و خروجی در محدوده‌ی زمانی کامبرین-اردوویسین در مرکز عمان را گزارش کرده و خاستگاه آن را به صعود گوشته‌ی غنی شده زیر لیتوسفر قاره‌ای در یک محیط کششی نسبت داده است. با توجه به یکپارچگی و اتصال ورقه‌ی ایرانی-عربی به گندوانا تا زمان پالئوزوئیک پایانی [۵۰-۵۳]، این گزارش‌ها، همگی دلالت بر حاکم بودن یک رژیم کششی کافتی بر منطقه و رخداد ماگماتیسم گستردۀ وابسته به آن، از کامبرین تا سیلورین در ارتباط با پیدایش و گسترش پالئوتیس بوده است.

براساس نقشه زمین‌شناسی چهارگوش ۱:۱۰۰۰۰ کیاسر [۳۶]، واحدهای رسوبی منطقه شامل سازندهای مختلف پرکامبرین پسین-پالئوزوئیک (بایندر، سلطانیه، باروت، زاگون، لالون، میلا و جیروود)، مزوژوئیک (الیکا و شمشک) و سنوزوئیک (کنگلومرای معادل فجن، بخش‌های رسوبی و رسوبی-آتشفشاری اتوسن میانی-فوقانی وابسته به سازند معادل کرج) هستند. واحدهای آذرین شامل توده‌ی نفوذی گرانیت‌وئید تویه‌دروار [۲۹-۲۷]، سنگ‌های بازی موجود در قاعده سازند شمشک [۴۰-۳۷] و سنگ‌های آتشفشاری اتوسن هستند. در نقشه‌ی زمین‌شناسی چهارگوش ۱:۱۰۰۰۰ کیاسر، سنگ میزبان توده‌ی نفوذی تویه‌دروار، سازند جیروود معرفی شده و بنابراین، سن این توده، جوان‌تر از سن سازند جیروود و حداقل به دونین بالایی نسبت داده شده است. اما بررسی‌های دقیق صحرایی [۲۹-۲۷]، نشان داد که سنگ میزبان این توده، سازند جیروود نیست، بلکه سازندهای بایندر، سلطانیه، باروت، زاگون و لالون‌اند (شکل ۱-ب). سنگ‌شناسی واحدهای مختلف سازند جیروود در منطقه، به‌طور کلی از پائین به بالا شامل کنگلومرا، شیل، ماسه‌سنگ، دولومیت و آهک بوده، ضخامت واحد دولومیتی آن تنها حدود ۳۰ متر است [۴۱]. این سازند دارای سه دنباله‌ی رسوبی است که دنباله‌ی نخست آن از چرخه‌های کوچک ۴ تا ۲۰ متری، متتشکل از تناوب لایه‌های شیل، ماسه‌سنگ، آهک و دولومیت نازک لایه، وابسته به پهنه‌ی جزر و مدی، تشکیل شده است. دنباله‌ی دوم، از تناوب شیل و آهک نازک لایه، وابسته به پهنه‌ی جزر و مدی، آغاز و به گرینستون بیوکلاستی و سپس به لایه‌های آهک و دولومیت ختم می‌شود. دنباله‌ی سوم نیز با رخساره‌ی پیشرونده گرینستون بیوکلاستی شروع و با رخساره‌های تخریبی-کربناتی پهنه‌های جزر و مدی خاتمه می‌پاید [۴۲]. اتا سازندهای سلطانیه و باروت که در منطقه از گسترش زیادی برخوردارند (شکل‌های ۱-ب، ۲-ب، ت) با ضخامت بسیار زیاد و تماماً از لایه‌های تیره رنگ دولومیت‌های چرتی و استروماتولیتی و آهک ضخیم لایه تشکیل شده‌اند که در صحراء، از روی ویژگی‌های سنگ‌شناسی و موقعیت آن‌ها در ستون سنگ‌چینه‌ای، به خوبی از سازندهای میلا و جیروود قابل تشخیص‌اند. بررسی‌های دقیق صحرایی نشان می‌دهند که در این محل، این توده نه در داخل سازند جیروود، بلکه بیشتر در داخل ماسه‌سنگ‌های قرمز رنگ سازند بایندر و دولومیت‌های تیره رنگ چرتی استروماتولیت‌دار



منطقه مورد مطالعه

شکل ۱-الف موقعیت جغرافیایی و زمین شناسی منطقه‌ی تویه‌دروار در تقسیم‌بندی واحدهای ساختاری ایران زمین [۳۵].



شکل ۱-ب- نقشه‌ی زمین‌شناسی منطقه‌ی تویه‌دروار که با استفاده از داده‌های ماهواره‌ای لندست و پی‌جویی‌های صحرایی تهیه شده است.



الف- تزريق توده در سازند باروت و ایجاد کانه‌زایی آهن و منگنز در آن.
سازند الیکا روی آن‌ها.



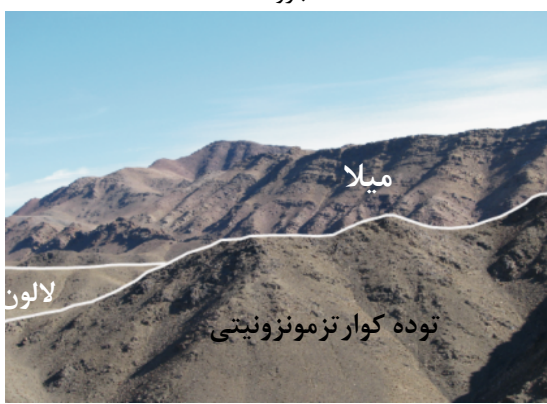
ب- تزريق توده در سازند باروت و ایجاد کانه‌زایی آهن و منگنز در آن.



پ- نمایی نزدیک از کانه‌زایی آهن و منگنز در محل تماس توده با سازند باروت.



ت- نفوذ توده در دولومیت‌های سازند سلطانیه.



ث- نفوذ توده در ماسه‌سنگ‌های لalon.

شکل ۲ روابط صحرایی توده‌ی نفوذی با سنگ‌های میزان.

در آن حضور دارند. سطح تماس جدا شده‌ی مزبور از توده‌ی اصلی، کاملاً تدریجی و حاکی از جدایش در جای توده است. اگرچه، زینولیت‌های پخته‌شده و تجدیدتبلور یافته ماسه‌سنگی (وابسته به سازند بایندر)، آهکی و دولومیتی (وابسته به سازند-

به‌طورکلی، ساخت و ترکیب توده‌ی گرانیتوئیدی تویه دروار در صحراء، تقریباً یکنواخت و کوارتزمونزونیتی به نظر می‌رسد، ولی به‌طور موضعی، بسته‌ها و رگه‌های کوچک تفریق یافته روش‌تر گرانودیوریتی و یا تیره‌تر دیوریتی (شکل ۲-ج)، نیز



ج- نمایی نزدیک از نفوذ توده در ماسه‌سنگ‌های لalon.

میرمکیتی، گرافیک و گرانوفیری با برتری بافت دانه‌ای است. بافت دانه‌ای، شاخصه‌ی عمومی توده‌های گرانیتوئیدی است، ولی بافت‌های گرافیک و گرانوفیری، غالباً معرف تبلور همزمان و سریع کوارتز و فلدسپار قلیایی از یک مایع فروتافتۀ در اعمق کم تبلور توده در نظر گرفته می‌شوند [۲۵]. بافت پرتیتی که اساساً در درشت بلورهای فلدسپار قلیایی (ارتوكلازها) دیده می‌شود، اصولاً یک بافت جدایشی است که در شرایط جامد و با کاهش دما به زیر منحنی انجاماد این کانی، تشکیل می‌شود. به اعتقاد برخی از پژوهشگران نظری [۲۱]، این بافت، ویژگی غالب بسیاری از گرانیتوئیدهای ناکوهزایی است و شامل حضور فقط یک فلدسپات قلیایی روی لیکیدوس است. در خلال سردشدن بعدی سنگ، این تنها فلدسپات موجود در آن، به صورت همرشدی تیغه‌ای شکل (پرتیت)، متتشکل از تیغه‌های مجرای سرشار از پتاسیم و سرشار از سدیم، تفكیک می‌شود. این فرآیند که تبلور هیپرسالووس نامیده می‌شود، شاخصه پتروزنیکی مهمی، مبنی بر فشارکل یا فشار آب نسبتاً پایین (یعنی عمق کم نفوذ)، حین تبلور این ماقماهاست. با توجه به شواهد موجود، به نظر می‌رسد که فشارکل و فشار آب نسبتاً پایین، هردو، در ایجاد این بافت در توده گرانیتوئیدی تویه‌دروار مشارکت داشته‌اند. در خصوص تشکیل بافت میرمکیتی، نظرهای مختلفی وجود دارد. این بافت، در حقیقت، یک بافت واکنشی زیر خط انجاماد نوع سیمپلکتیک است که نشان-دهنده‌ی درهمرشدی کوارتز کرمی شکل و پلاژیوکلاز سدیک می‌باشد. به عقیده‌ی [۵۵] بافت میرمکیتی شامل درهمرشدی قطرات کرمی شکل خیلی ریزدانه کوارتز و پلاژیوکلاز سدی است و به نظر می‌رسد که اساساً در اثر واکنش‌های حالت جامد همراه با دگرشكلي، ایجاد می‌شود. به دلیل فراگیربودن بافت میرمکیتی در سنگ‌های گرانیتی و گنیسی، خاستگاه آن یکی از معماهای مهم در سنگ‌شناسی است. بافت میرمکیتی، به طور کلی به دو شکل میرمکیت حاشیه‌ای و بین دانه‌ای دیده می‌شود. نوع حاشیه‌ای شامل درهمرشدی کوارتز کرمی شکل و پلاژیوکلاز سدیم‌دار است و بین فلدسپار پتاسیم و پلاژیوکلاز رخ می‌دهد. اما میرمکیت بین‌دانه‌ای، به صورت نفوذی‌های ریزی بین دانه‌های فلدسپار پتاسیم مجاور هم دیده می‌شوند. نظریات موجود درباره تشکیل این بافت را می‌توان به هفت گروه به شرح زیر رده‌بندی کرد [۶۵]: (۱) تبلور مستقیم یا

های باروت و سلطانیه، در حاشیه‌های توده دیده می‌شوند، ولی در سنگ‌های میزبان، هیچگونه دگرگونی همبزی روشنی مشاهده نمی‌شود. این امر، احتمالاً می‌تواند ناشی از کمبود شاره‌ها و طبیعت نسبتاً خشک ماقما، حجم کم توده و صعود دیاپیری آن در حالت نسبتاً جامد و سرد، در اعمق خیلی کم باشد. بعلاوه، باید یادآور شد که هیچ برونوبوم، زینولیت یا زینوکریست آذرینی در این توده دیده نمی‌شود. در گرانیتوئید-های کوهزایی، زینولیت‌ها و زینوکریست‌های فراوانی دیده می‌شوند و حاکی از نقش مهم آلایش و هضم سنگ میزبان به صورت واکنش‌های ذوب، انحلال، تبدیل یونی، اکسایش-احیاء و غیره است. اما فقدان نسبی زینولیت‌ها و زینوکریست‌ها در گرانیتوئیدهای نوع A ممکن است به دما و ترکیب ماقما وابسته باشد. دمای بالا (بیش از ۹۰۰ درجه سانتیگراد)، ماهیت قلیایی تا ابر قلیایی و میزان فلور بالای ماقما، همگی باعث ناپلیمریزه شدن ماقما و کاهش گرانزوی آن به حدی می‌شوند. که زینولیت‌ها در آن سقوط کرده و توان بالا آمدن نیابند. بررسی‌های ماقماهای گرانیتوئیدی نوع A در گستره‌ی ترکیبی گرانیت-سینیت و حاوی ۲ درصد آب محلول، در دمای نزدیک ۹۰۰ درجه‌ی سانتیگراد، نشان داده که آن‌ها دارای گرانزوی-هایی در گستره‌ی 10^5 تا 10^9 پاسکال ثانیه هستند. در ماقماهای قلیایی‌تر ریولیتی که مقدار آب محلول آن‌ها به ۴/۳ رسد، مقدار گرانزوی از این هم بسیار کمتر است [۱۷، ۵۴]. ماهیت دیوریتی-مونزونیتی، وابستگی به ماقماتیسم بازی دمای بالای پالئوزوئیک زیرین ایران مرکزی - البرز، طبیعت قلیایی و فلور بالای ماقما (وجود کانسار فلورین در سنگ‌های میزبان توده)، همگی می‌توانند وجود ویژگی‌های مزبور را در توده گرانیتوئیدی تویه‌دروار توجیه کنند.

سنگنگاری

اگرچه، توده‌ی گرانیتوئیدی تویه‌دروار در صحراء و نمونه‌های دستی ظاهرآً یکنواخت و دیوریتی-مونزونیتی به نظر می‌رسد، ولی در بررسی‌های میکروسکوپی، دارای طیف ترکیبی دیوریت، مونزودیوریت، مونزونیت، کوارتزمونزونیت و گرانودیوریت، با برتری غالب مونزونیت-کوارتزمونزونیت و دارای بافت‌های مختلف دانه‌ای (گرانولار) ریز تا متوسط دانه، پرتیتی،

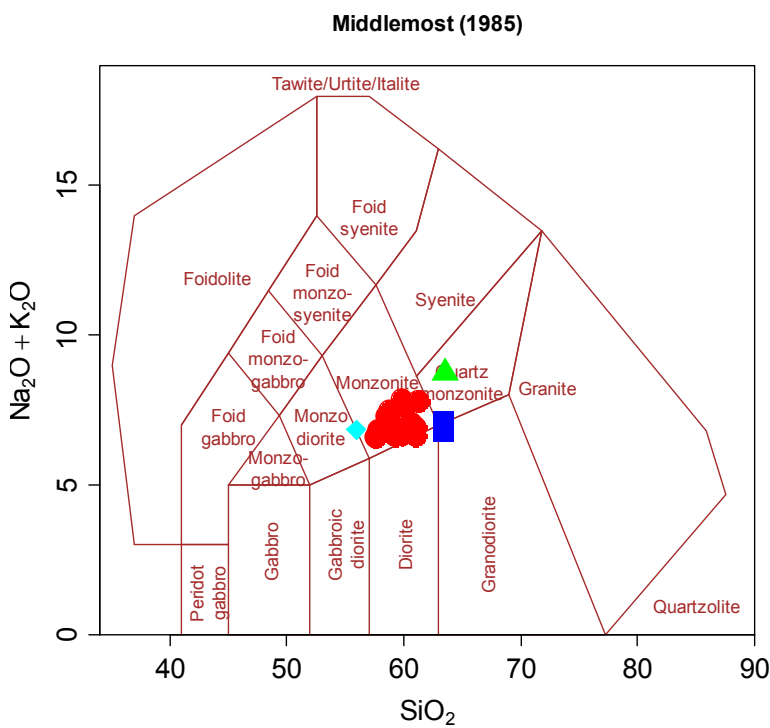
کلسیت و کانی‌های رسی هستند. اسفن‌های ثانویه، از واکنش TiO_2 آزاد شده از کانی‌های آهن و منیزیم‌دار (آمفیبول و سیویت) و تیره (اکسیدهای آهن-تیتان) با CaO و SiO_2 حاصل از تخریب پلازیوکلазها ایجاد شده‌اند.

ژئوشیمی

طیف تغییرات SiO_2 نمونه‌ها از ۵۵/۹۴ تا ۶۳/۵۳ درصد وزنی متغیر است و در نمودار رده‌بندی شیمیایی [۶۰] در مرزهای مشترک گستره‌های دیوریت، مونزو دیوریت، مونزو نیت، کوارتز مونزو نیت و گرانو دیوریت قرار می‌گیرند (شکل ۳) که با بررسیهای صحرایی و سنگ‌نگاری، همخوانی کاملی نشان می‌دهند. این نمونه‌ها در نمودار تعیین سری ماگماتی [۶۱] در گستره‌ی سری‌های پتاسیم آهکی-قلیایی بالا و بیشتر در قلمرو سری شوشو نیتی (شکل ۴)، در نمودار رده‌بندی [۶۲] در قلمرو گرانیت‌وئیدهای آهن‌دار (شکل ۵) و در نمودار تعیین درجه‌ی اشباعی از آلومنیم [۶۳] در گستره‌های متالومین تا پرآلومین (شکل ۶) قرار می‌گیرند. علی‌رغم همگنی نسبی توده، در نمودارهای خطی افزایش نسبی مقادیر Rb , K_2O , Na_2O , P_2O_5 , MgO , Fe_2O_3 , CaO , Al_2O_3 , TiO_2 , V کاملاً مشهود است (شکل ۷). وجود روندهای پراکندگی که در Na_2O , K_2O , CaO , Rb , Al_2O_3 , Fe_2O_3 , CaO , Al_2O_3 , TiO_2 , V که در بین ارتوکلاز، پلازیوکلاز و دیگر دانه‌های فلدسپارها و بیوتیت و جانشینی کلریت، کلسیت و کانی‌های رسانی به جای آن‌ها دانست. کاهش محسوس در مقدار TiO_2 ، با حضور قابل‌ملحوظه اسفن‌های اولیه و ثانویه در مقاطع میکروسکوپی نمونه‌های دیوریتی - مونزو دیوریتی و عدم حضور و یا حضور بسیار کم‌رنگ آن‌ها در نمونه‌های روشن‌تر مونزو نیتی و گرانو دیوریتی، تأیید می‌شود. نمونه‌های مورد بررسی در نمودارهای جفت عناصر ناسازگار $Ba-Nb$, $Ba-Rb$, K_2O-Rb , $Ba-K_2O$, $Cs-Rb$, روندهای خطی با شبیه مثبت نشان می‌دهند که صرف نظر از پراکندگی جزئی برخی نقاط، از مبدأ نیز عبور می‌کنند. در نمودار عناصر سازگار - ناسازگار $V-O-K$ نیز روند از نوع خطی با شبیه منفی و پراکنده است (شکل ۸). این روندهای شیمیایی خطی و پراکنده، نشانگر نقش و اهمیت فرایند تبلور جدایشی، بخصوص جدایش فلدسپار و هضم و آلایش در شکل‌گیری ماگماتی این توده است.

همزمان کوارتز و پلازیوکلاز. (۲) جایگزینی فلدسپار پتاسیم با پلازیوکلاز. (۳) جایگزینی متاسوماتیکی پلازیوکلاز با فلدسپار پتاسیم. (۴) جدایش در حالت جامد. (۵) مشارکت کوارتز در حال تبلور مجدد، در آلبیت درحال رشد جدا شده از فلدسپار پتاسیم. (۶) دگرشکلی. (۷) ترکیبی از دو یا چند فرایند یاد شده (مثلًا مشارکت جانشینی دگرنهادی و جدایش به‌طور همزمان و یا مشارکت دگرشکلی و جایگزینی دگرنهادی باهم). از نظر کانی‌شناسی، این توده اساساً متشکل از نسبت‌های مختلفی از پلازیوکلازهای نیمه خودشکل و ارتوکلازهای غالباً پرتیتی، همراه با مقادیر متغیر و فرعی از آمفیبول، بیوتیت و کوارتز است. پلازیوکلاز به عنوان فراوان ترین کانی موجود در این توده، دارای ترکیب حدواتسط بوده و به صورت دانه‌های تیغه‌ای و تخته‌ای نیمه‌خودشکل با درجات مختلفی از سوسوریتی شدن دیده می‌شود. عموماً دارای منطقه‌بندی است که تأیید کننده‌ی تبلور سریع (عمق کم نفوذ توده) می‌باشد. گاهی اوقات دارای پوششی از ارتوکلاز است و بافت آنتی‌رایپاکیو نشان می‌دهد. ارتوکلاز، دومین کانی غالب در توده است که به صورت ناخودشکل و با بافت پرتیتی دیده می‌شود. عموماً پلازیوکلازها و کانی‌های آهن و منیزیم‌دار آمفیبول و بیوتیت را دربرمی‌گیرد و درجات مختلفی از سریسیتی شدن و کائولینیتی شدن را نشان می‌دهد. آمفیبول و بیوتیت، غالباً به کانی‌های ثانویه دگرسان شده‌اند. کوارتز، عموماً در مقادیر کم، دانه‌های ناخودشکلی را در بین ارتوکلاز، پلازیوکلاز و دیگر دانه‌های کانی‌ها تشکیل می‌دهد. البته، این کانی به شکل میکروگرافیک، گرانوفیری و در همرشدی میرمکیتی کرمی‌شکل نیز در توده دیده می‌شود.

کانی‌های عارضه‌ای موجود در توده شامل دانه‌های ریز آپاتیت، اسفن، زیرکن و کانی‌های تیره (مگنتیت، هماتیت و پیریت) هستند که به صورت نفوذی در کانی‌های اصلی و یا به شکل دانه‌های آزاد بین دیگر کانی‌ها، دیده می‌شوند. برخی از آپاتیتها به صورت سوزن‌های کشیده‌ای دیده می‌شوند که از تبلور و سردشدن سریع و موضعی ماقماهای مافیک داغ آمیخته شده با ماقمای فلسیک نسبتاً سردتر، تشکیل شده‌اند [۵۷]. این پدیده نیز به عنوان نشانه‌ای از اختلاط ماقمایی معرفی شده است [۵۸,۵۹]. کانی‌های ثانویه نیز شامل کلریت، اپیدوت، اسفن، اسفن، کانی‌های تیره (مگنتیت و هماتیت)، سریسیت،



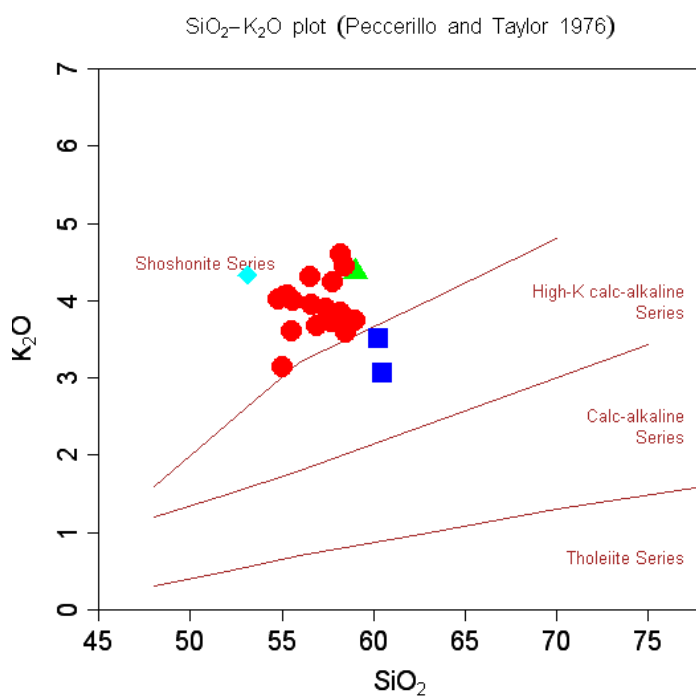
مونزودیوریت‌ها

کوارتز مونزونیت‌ها

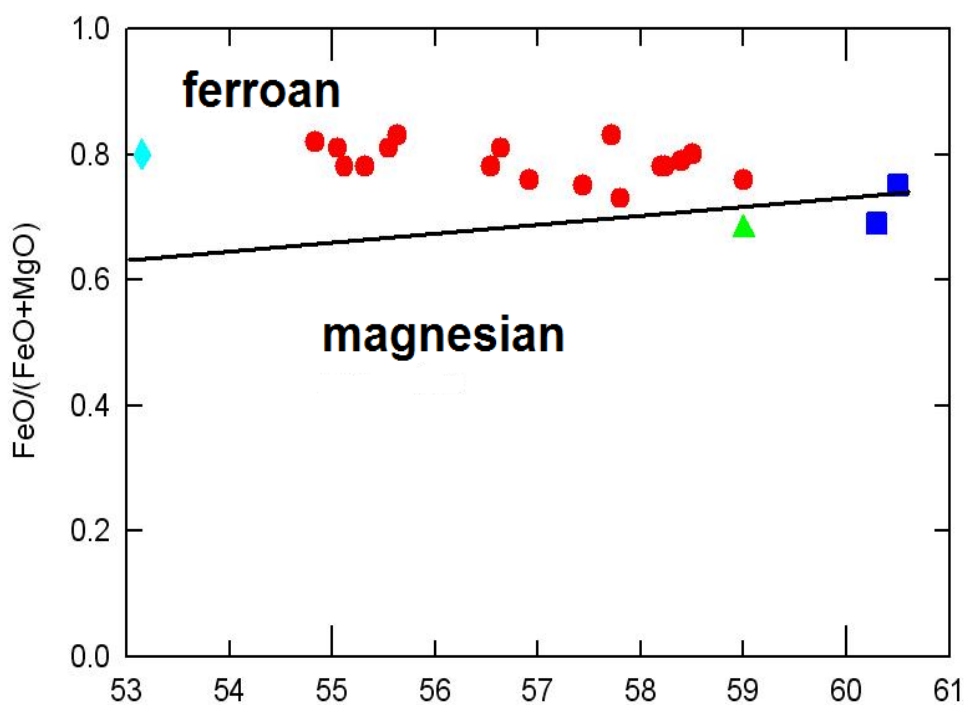
گرانودیوریت‌ها

مونزونیت‌ها

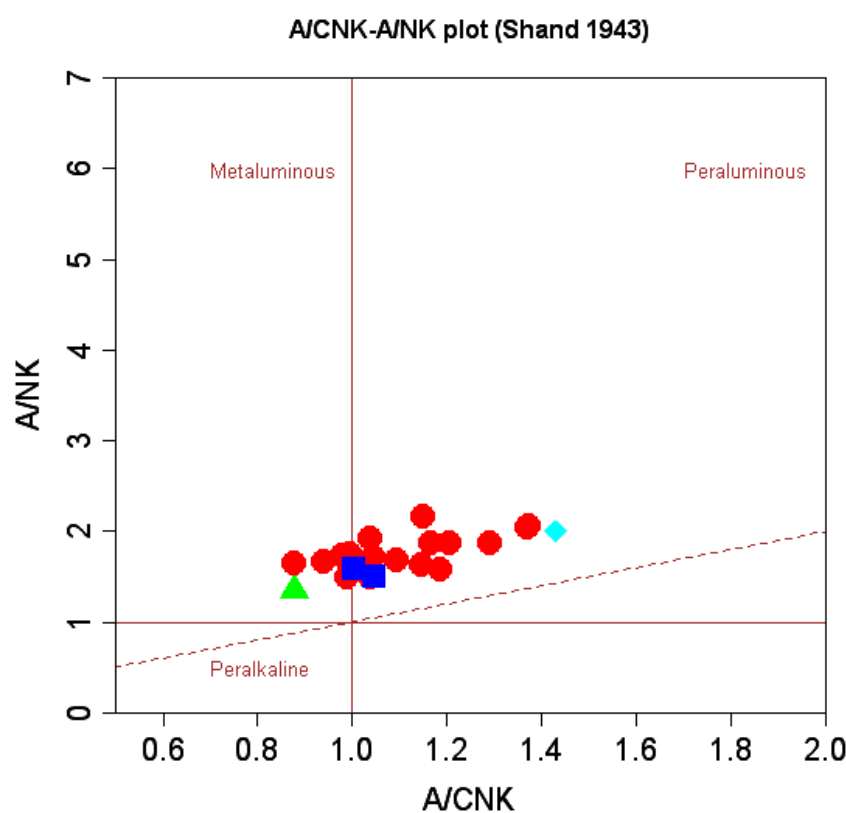
لازم به یادآوری است که علاوه بر نشانه‌های استفاده شده برای معرفی گروه‌های سنگی مورد بررسی در تمامی نمودارها یکسان و همانند این شکل می‌باشند.
شکل ۳ نامگذاری سنگ‌های توده‌ی گرانیتوئیدی توبه دروار با استفاده از نمودار $\text{Na}_2\text{O} + \text{K}_2\text{O}$ نسبت به SiO_2 [۶۰].



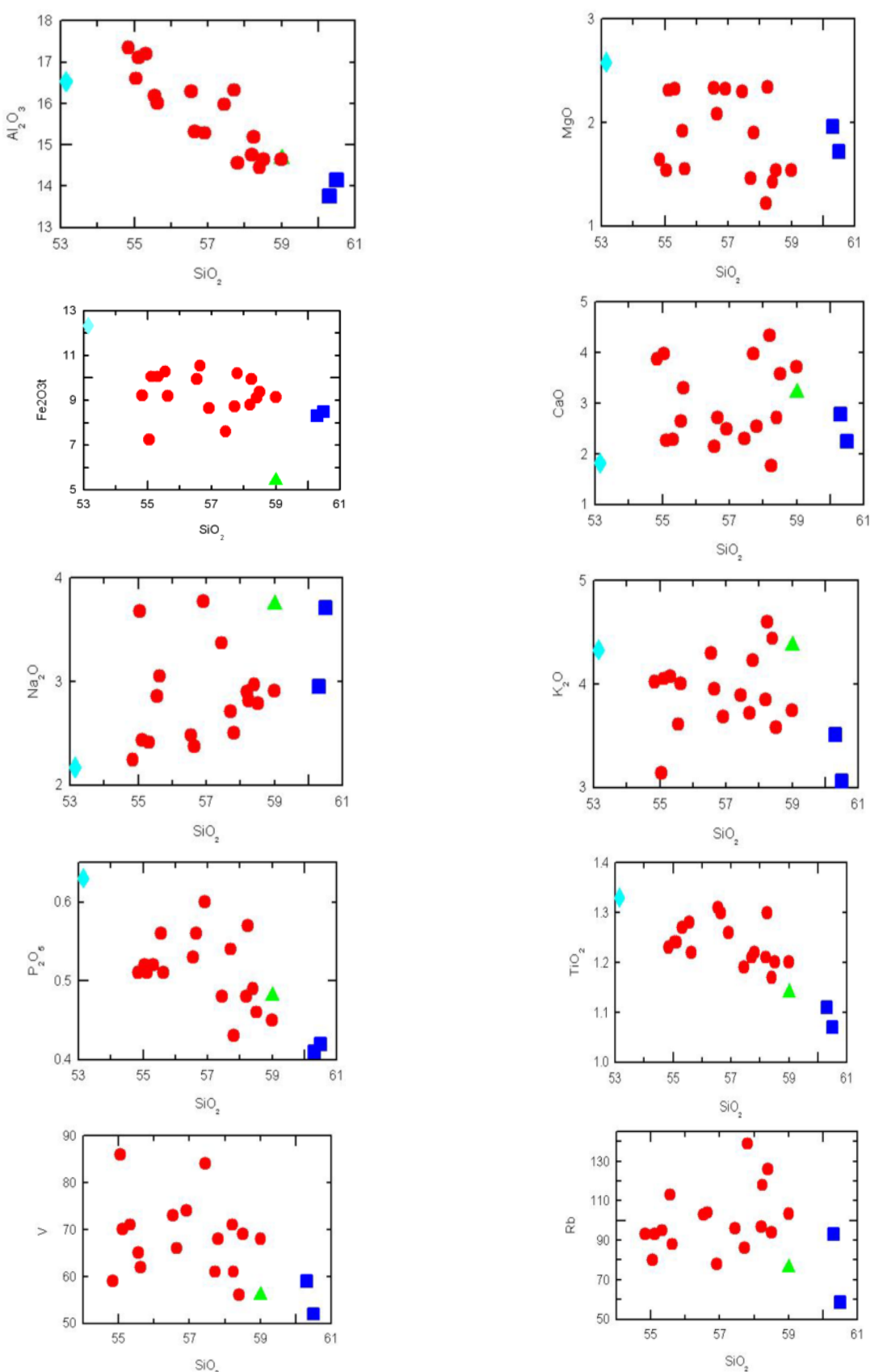
شکل ۴ موقعیت سنگ‌های گرانیتوئیدی توبه دروار در قلمرو پاتاسیم آهکی-قلیابی بالا و شوشوونیتی در نمودار تعیین سری ماقمایی K_2O نسبت به SiO_2 از [۶۱].



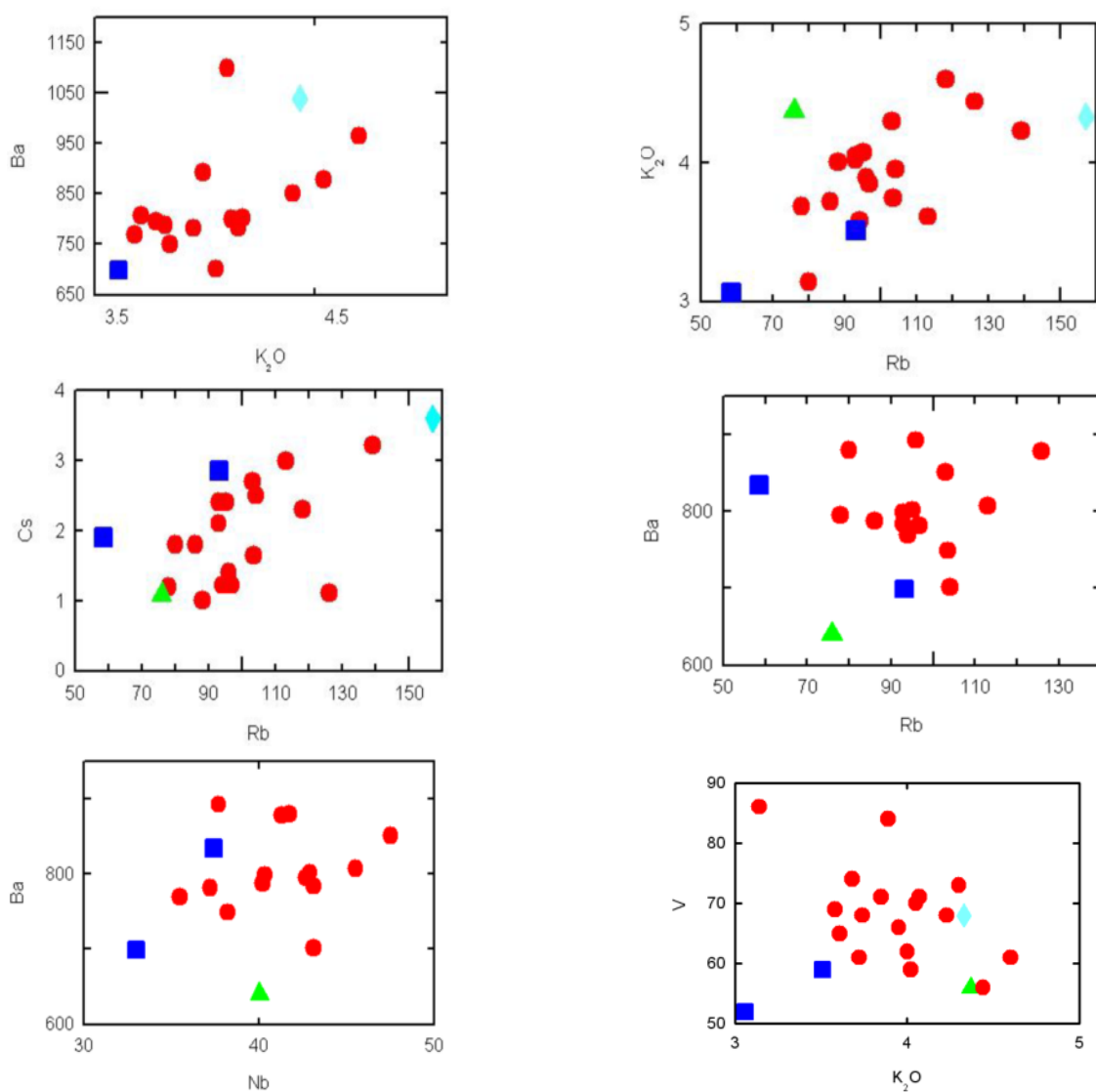
شکل ۵ موقعیت نمونه‌های توده‌ی گرانیتوئیدی تویه دروار در قلمرو گرانیتوئیدهای آهن‌دار (نوع A) در نمودار رده‌بندی [۶۲].



شکل ۶ نمودار [۶۳] برای تعیین درجه‌ی اشباع از آلومین سنگ‌های توده‌ی گرانیتوئیدی تویه دروار.



شکل ۷ نمودارهای تغییرات اکسیدهای عناصر اصلی (به درصد وزنی)، فرعی و کمیاب (به پی‌پی‌ام) نسبت به سیلیس (هارکر) برای نمونههای توده گرانیتوئیدی تویه درواز. توضیحات در متن ارائه شده‌اند.



شکل ۸ نمودارهای تغییرات عنصر ناسازگار- ناسازگار و سازگار، غنی‌شدگی و مقادیر عنصر نادر به پی‌پیام هستند.

ماگما و انباست آن‌ها در سنگ‌های مختلف، تفسیر طرح‌های عنصر نادر سنگ‌های حاصل، پیچیده می‌شود [۶۷].

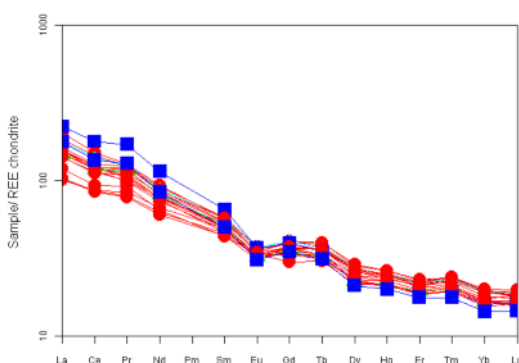
بحث و بررسی

اگرچه، بی‌جوبی‌های صحرایی، سنگنگاری و نمودارهای تغییرات عنصر اصلی و کمیاب، ارتباط جدایشی بین نمونه‌های توده گرانیتوئیدی تویه دروار را نشان می‌دهند، اما این امر در نمودارهای تغییرات عنصر ناسازگار- ناسازگار و سازگار- سازگار و نیز طرح‌های بهنجارشده به کندریت نادر خاکی نمونه‌ها که برای اثبات وجود روابط ذوب بخشی یا تبلور جدایشی بین نمونه‌های یک سری سنگی به کار می‌روند [۶۸-۷۰] نیز به خوبی آشکار است (شکل‌های ۸ و ۹). روندهای

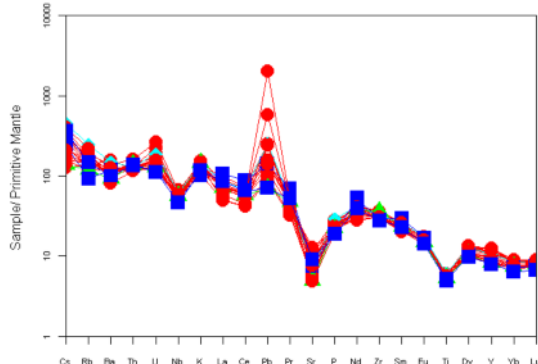
در نمودارهای عنکبوتی بهنجار شده به کندریت [۶۴] و گوشته‌ی اولیه [۶۵]، همه نمونه‌ها در مجموع از عنصر نادر خاکی سیک و ناسازگار، غنی‌شدگی و از عنصر نادر خاکی سنگین و سازگار، غنی‌شدگی بسیار کمتر، نشان می‌دهند. نایهنجاری‌های منفی خیلی کوچکی از Eu و Sr و Nb، Ti، REE و Pb مثبت بارزی از درید می‌شود (شکل ۹). تمرکزهای HFSE اساساً با کانی‌های عارضه‌ای مختلف نظری اسفن (تیتانیت)، ایلمنیت، آپاتیت، آلانیت، مونازیت، زیرکن و زینوتیم کنترل می‌شود، زیرا این کانی‌ها از ضربت توزیع بالای برای این عناصر برخوردارند [۶۶]. بنابراین، با خروج این کانی‌های عارضه‌ای در خلال فرایندهای ذوب بخشی یا تبلور جدایشی از

به همراه هضم و آلایش مagmaی قرار می‌گیرند (شکل ۱۰). بنابراین، فرایند اصلی ارتباط بین سنگ‌های این توده‌ی، با تبلور K/Ba جدایشی است. روندهای خطی منفی در نمودارهای K/Rb، Sr/Rb، Ba/Rb نسبت به Rb/Ba، Ba، Ba نسبت به Ba-Eu/Eu*، Ba-Sr و Ba-Eu/Eu* (شکل ۱۱) به همراه نابهنجاری منفی از Eu و Sr حاکی از نقش اساسی جدایش فلدسپار [۳۴، ۲۲] در شکل‌گیری magmaی این توده است.

خطی و مثبت در نمودارهای تغییرات دو عنصر ناسازگار در مقابل هم‌دیگر، که از مبدأ مختصات نیز می‌گذرند و نیز روند خطی و منفی در نمودارهای عناصر سازگار نسبت به ناسازگار، به همراه روندهای تقریباً موازی در طرح‌های بهنجارشده به کندریت عناصر نادر خاکی نمونه‌ها، حاکی از نقش فرایند تبلور بخشی در شکل‌گیری magmaی این توده است. همچنین، در نمودارهای La/Sm نسبت به La [۷۱] و Y نسبت به Zr نیز نمونه‌های مورد بررسی در راستای روند وابسته به جدایش بلوری

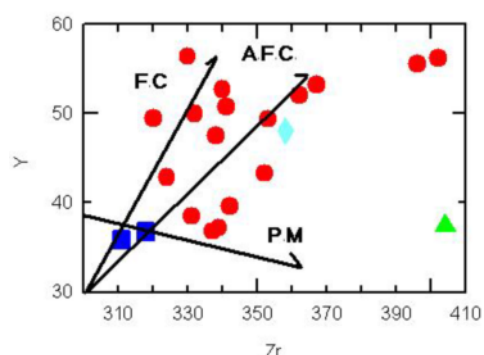
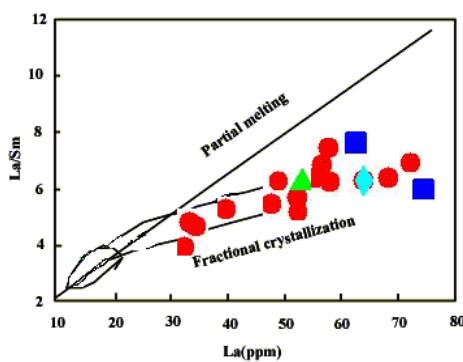


الف - نمودار عناصر نادر خاکی بهنجار شده به کندریت [۶۴] نمونه‌های توده گرانیتوئیدی تویه‌دروار.

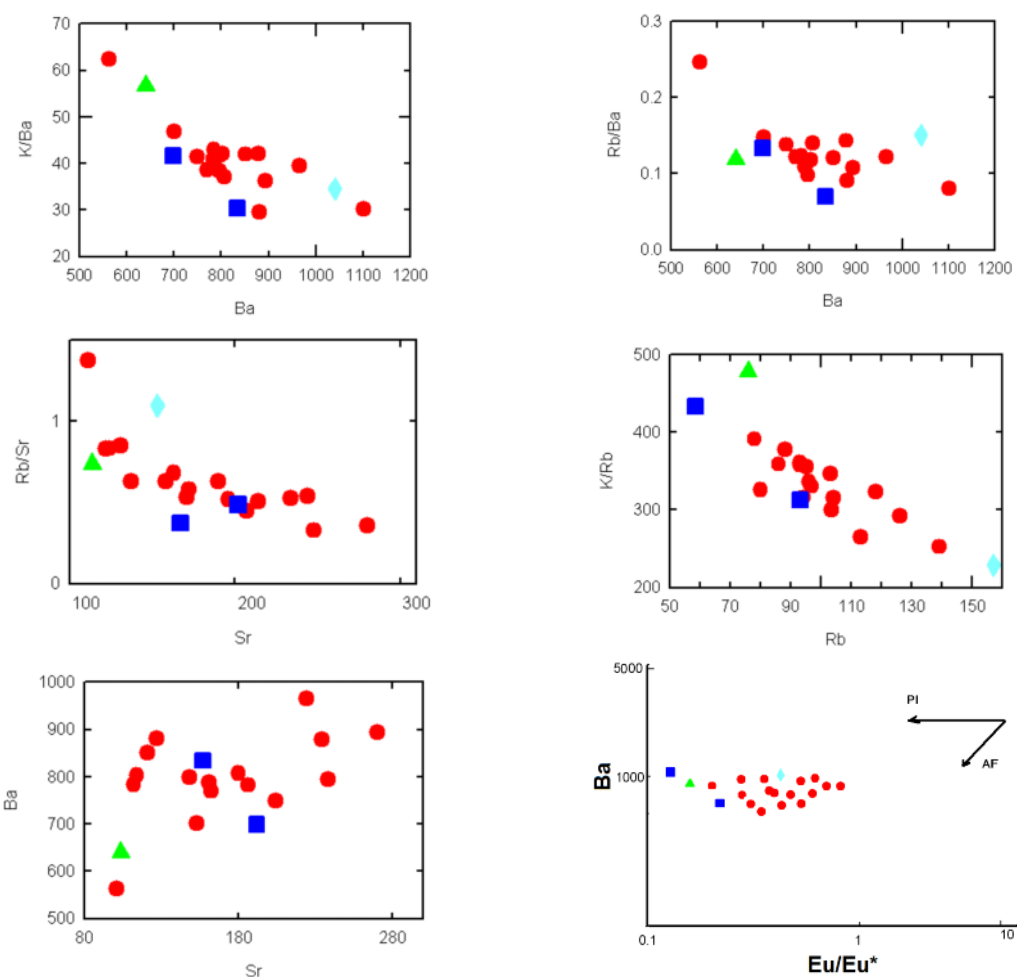


ب - نمودار چند عنصری بهنجار شده به گوشته اولیه [۶۵] برای نمونه‌های توده گرانیتوئیدی تویه‌دروار.

شکل ۹ نمودارهای نادر خاکی و چند عنصری بهنجارشده به کندریت و گوشته اولیه برای نمونه‌های توده گرانیتوئیدی تویه‌دروار.



شکل ۱۰ نمودارهای اثبات کننده نقش تبلور جدایشی در شکل‌گیری magmaی نمونه‌های توده نفوذی تویه‌دروار [۷۱].



شکل ۱۱ نمودارهای مختلف برای اثبات نقش تبلور بخشی فلدسپار در شکل گیری ماقمایی تویهدروار [۲۲، ۲۴].

متاآلومین تا اندرکی پرقلیا هستند، ندرتاً می‌توانند پرآلومین نیز باشند [۲۱]. البته، دلایل دیگری نظیر جدایش هورنبلند [۷۲] یا ناهمگونی مقدار آب در سنگ مادر نیز برای توجیه طبیعت پرآلومینی این نوع گرانیتوبیدها ارائه شده است [۲۲]. در نمودارهای تعیین محیط زمین ساختی [۷۳]، نمونه‌های مورد بررسی در قلمرو گرانیتوبیدهای درون ورقه‌ای (WPG) قرار می‌گیرند (شکل ۱۲). در نمودارهای [۱۹] که انواع گرانیتوبیدها را از هم جدا می‌کنند، نمونه‌ها در گستره‌های گرانیتوبیدهای نوع A واقع می‌شوند (شکل ۱۳). همچنین براساس تقسیم‌بندی [۶] از گرانیتوبیدها به دو گروه A₁ و A₂، نمونه‌های تویهدروار در گستره‌ی گرانیتوبیدهای نوع A₁ واقع می‌شوند (شکل ۱۴). در این تقسیم‌بندی، گرانیتوبیدهای نوع A₁، به عنوان گدازه‌های جدا شده حاصل از ماقماهای گوشته‌ای مشابه با ماقماهای حاصل از منابع بازالت‌های جزایر اقیانوسی معروف شده‌اند که در جایگاه‌های ناکوهزایی نظیر کافت‌های قاره‌ای یا در خلال ماقماتیسم درون ورقه‌ای تشکیل می‌شوند. همچنین،

غنى شدگی بالای نمونه‌ها از LILE همچون Ba, K, Rb, Cs, Th و تمرکزهای پایین عناصر انتقالی (نظیر وانادیم و اسکاندیم) می‌تواند حاکی از وجود یک خاستگاه گوشته‌ای غنى شده زیر لیتوسفر قاره‌ای (گوشته‌ی دگرنهاد) به عنوان محل خاستگاه ماقمای نمونه‌ها باشد. همچنین نایهنجاری‌های منفی خیلی کوچک از Sr, Ti, Eu و Nb و نایهنجاری مشبت باز از Pb که از ویژگی‌های چشمگیر گرانیتوبیدهای نوع A است [۲۲] و موقعیت نمونه‌ها در راستای روند هضم و تبلور بخشی در نمودار Y نسبت به Zr را می‌توان نشانه‌ی آلایش پوسته‌ای ماقمای مادر نمونه‌ها دانست.

گرچه، قرارگیری نمونه‌های مورد بررسی در قلمرو پرآلومین در نمودار درجه اشباعی آلومین (شکل ۶) را باید ناشی از تجزیه پلازیوکلازها و از دست رفتن مقادیری از CaO, Na₂O, K₂O و افزایش نسبی Al₂O₃ دانست که سبب افزایش نسبت A/CNK نمونه‌ها و قرارگرفتن آن‌ها در موقعیت غیرواقعی می‌شود، ولی گرانیتوبیدهای نوع A که به‌طور مشخص

خاتمه می‌یابد، همگی یک چرخه کوهزایی (چرخه ویلسون) را تشکیل می‌دهند. لذا، گرانیتوئیدهای نوع A نیز جزئی از یک چرخه کوهزایی هستند و نباید آن‌ها را واقعاً ناکوهزا نامید، بلکه بهتر است آن‌ها را به محیط‌های کششی یا تراکششی درون ورقه قاره‌ای [۱۷] وابسته بدانیم.

مدلهای سنگزایی مختلفی برای تشکیل این گرانیتوئیدها ارائه شده‌اند که شامل:

الف- این سنگ‌ها، فراورده‌های بلور جدایشی مagmaهای مادر بازالتی مشتق از گوشه، همراه با یا بدون برهم‌کنش با سنگ-های پوسته‌ای و هضم مقادیری از آن‌ها هستند [۲۲،۸].

ب- این سنگ‌ها از طریق ذوب بخشی با درجه‌ی پایین یک خاستگاه آنرین دگرگون شده گرانولیتی پسمانده خشک سرشار از فلور یا کلر، پس از خروج magmaهای گرانیتوئیدی نوع I از آن، ایجاد شده‌اند [۷۸،۷۷،۲۴،۱۸]. به عبارت دیگر، آن‌ها از ذوب دوباره موادی که پسمانده‌ی رخدادهای ذوب قبلی‌ترند، ناشی می‌شوند [۱۶،۲۱،۹]. این خاستگاه، ویژگی خشک‌تر، سرشاری از فلور و غنی‌تر بودن از HFSE را در این گروه نسبت به دیگر گروه‌های گرانیتوئیدی توجیه می‌کند. به اعتقاد [۱۸]، پس از اولین رخداد ذوب و خروج magmaهای گرانیتوئیدی، بیوتیت و آمفیبیول باقیمانده در پسمانده گرانولیتی، سرشار از فلور و دارای آب بسیار کمی هستند و درنتیجه، ذوب این پسمانده در دمای بالای ۹۰۰ درجه‌ی سانتیگراد باعث ایجاد یک magmaی گرانیتوئیدی با ویژگی نوع A خواهد شد. دمای بالا، طبیعت قلیایی و غنی‌بودن magma از فلور، باعث غنی‌شدگی آن از HFSE می‌شود. زیرا، این شرایط باعث بالارفتن قابلیت انحلال کانی‌های عارضه‌ای نظیر زیرکن و آپاتیت در magma می‌شوند [۸].

پ- آن‌ها ناشی از ذوب سنگ‌های تونالیتی و گرانودیوریتی تهی‌نشده نوع I پوسته‌ی زیرین [۲۲] یا همان مدل ذوب بخشی با فشار پایین گرانیتوئیدهای متالومین آهکی-قلیایی [۱۶،۲۱] هستند.

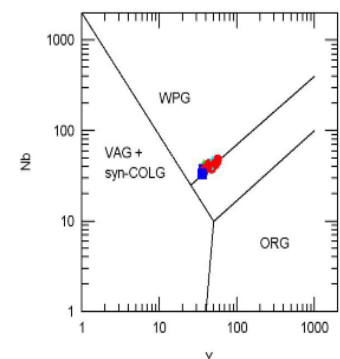
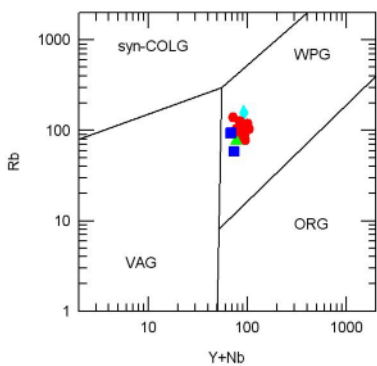
ت- این سنگ‌ها می‌توانند از ذوب بازالت‌های تولیتی نیز ایجاد شوند [۲۱].

ج- ذوب مجدد گوشه‌ی لیتوسفری دورگهای شده نیز از دیگر فرایندهای تشکیل این سنگ‌هاست [۶۷].

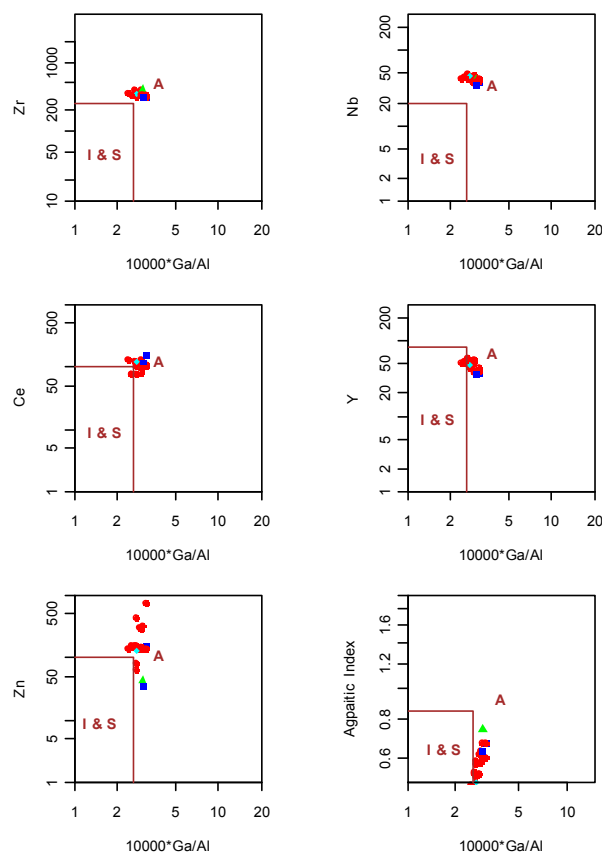
چ- اختلاط بین magmaهای حاصل از ذوب بخشی پوسته با magmaهای مافیک مشتق از گوشه نیز از فرایندهای اساسی تشکیل این سنگ‌هاست. این پدیده در زمان بالاً‌مدن ستون‌های سنگی گوشه‌ای در مناطق کششی کافته، که با ذوب بخشی آن‌ها و تشکیل magmaهای بازالتی همراه است، رخ می-

گرانیتوئیدهای نوع ۲A، شامل گرانیت‌های پس از برخورد و گرانیت‌های جایگزین شده در انتهای دوره طولانی جریان گرمایی ظاهرًا بالا و مagmaتیسم گرانیتی ناشی از آن، معرفی شده‌اند. [۷۴] با بررسی مagmaتیسم گسترده بازالتی سلطان میدان به سن سیلورین در منطقه‌ی شاهرود، خاستگاه آن را به ذوب بخشی یک ستون گوشه‌ای مشابه با منابع بازالت‌های جزایر اقیانوسی (OIB) نسبت می‌دهد که در محیط کافته حاکم بر این بخش از ایران در آن زمان در حال بالاً‌مدن و ذوب بوده است. [۷۵] نیز با بررسی دقیق سازند پادها به سن دونین زیرین در همین منطقه، که با یک لایه‌ی کنگلومرازی مشتمل از قطعات بازالت‌های سلطان میدان، مستقیماً بروی این بازالت‌ها قرار می‌گیرد، محیط تشکیل این سازند را یک کافت درون قاره‌ای معرفی کرده است. به علاوه، گرانیتوئیدهای نوع A در مقایسه با دیگر گرانیتوئیدهای کوهزایی، از لحاظ ژئوشیمیایی با داشتن نسبت بالای FeO/MgO (حاکی از خاستگاه جدایشی آن‌ها) و محتوای بالای $\text{Na}_2\text{O}+\text{K}_2\text{O}$ و K/Na ($\text{Na}+\text{K})/\text{Al}$) و (طبیعت پرآلکالن)، نسبت‌های بالای REE، Zr، Ga، F، Zn، Y، Nb (به استثنای CaO، MgO و LILE/HFSE) و مقادیر پایین Eu، نسبت پایین Al و Al_2O_3 ، Cr، Ni و S متمایز می‌شوند [۱۷، ۸،۱]. بنابراین، براساس شواهد ژئوشیمیایی از قبیل طبیعت قلیا، مقادیر بالای عنصر با شدت میدان بالا (HFSE) و داشتن MgO پائین، مقدار بالای نسبت CaO/MgO و بالا بودن نسبت Ga/Al [۱۹] و دیگر شواهد زمین‌شناسی و زمین-ساختی منطقه، می‌توان توده گرانیتوئیدی تویه‌دروار را در گروه گرانیتوئیدهای ناکوهزا نیز ایجاد کرد. به حساب آورده که در محیط کافته حاکم بر این بخش از البرز در زمان اردوویسین-سیلورین و از ذوب بخشی یک ستون گوشه‌ای غنی شده بالاً‌مده تشکیل شده است. گرانیتوئیدهای نوع A از نظر حجمی کوچک‌تر و در نوارهای کوهزایی به صورت پراکنده دیده می‌شوند. زیرا این توده‌ها در پایان فرایندهای زمین‌ساختی تراکششی - کششی، جایگزین می‌شوند. درنتیجه، این گرانیتوئیدها یا واقعاً ناکوهزا نیز ایجاد می‌شوند. در نظر حجمی انتهای چرخه کوهزایی هستند و یا در محیط‌های نافشارشی و در انتهای چرخه کوهزایی به صورت گرانیتوئیدهای بساکوهزا یا یا بساپرخوردی، جایگزین می‌شوند [۲۲]. اما از دیدگاه انگاره‌ی زمین‌ساخت ورقه‌ای [۷۶] باید این نگرش را مورد بازنگری قرار داد، زیرا تمامی مراحل تولد و مرگ یک حوضه‌ی اقیانوسی که از بالاً‌زدگی و کافت‌زایی درون قاره‌ای شروع و در نهایت با برخورد ورقه‌ها و ایجاد محیط‌های کششی پس از برخورد،

پردمای بازالتی در زیر پوسته، باعث ذوب سنگ‌میزبان گرانولیتی و به طور همزمان، تبلور تفریقی در ماقمای بازالتی می‌شود. اختلاط بخش تفریق یافته این ماقمای بازالتی با مذاب فلسیک حاصل از ذوب بخشی پوسته گرانولیتی زیرین، می‌تواند ماقمای دورگه (H) با ترکیب گرانیت‌وئید نوع A ایجاد کند که بر مانع فیلتری پوسته‌ای غلبه کرده و صعود نماید.
[۷۷، ۲۳، ۱۶، ۸]

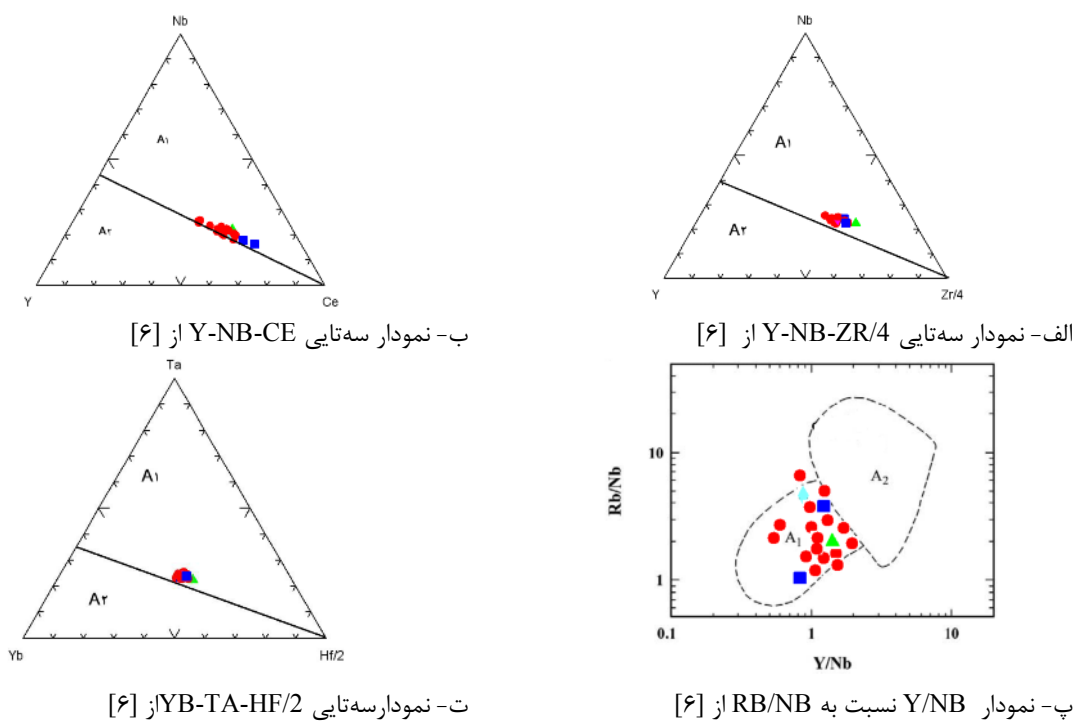


شکل ۱۲ موقعیت نمونه‌های توده‌ی گرانیت‌وئیدی تویه‌دروار در نمودارهای محیط زمین‌ساختی [۷۳] در موقعیت درون ورقه‌ای.



شکل ۱۳ نمودارهای [۱۹] برای تمایز انواع گرانیت‌وئیدها و قرارگرفتن نمونه‌های گرانیت‌وئیدی تویه‌دروار در گسترده‌ی نوع A.

دهد. ماقمای بازالتی حاصل به درون پوسته‌ی گرانولیتی زیرین نفوذ می‌کند و به دلیل گرانولوی کمتر نسبت به سنگ‌های پوسته و نقش فیلتری سنگ‌های پوسته زیرین، امکان صعود پیدا نمی‌کند و در زیر آن جمع می‌شود. البته، بسته‌هایی از این ماقمای بازالتی، از طریق گسل‌های عادی موجود در این محیط‌های کششی به صورت دایک بالا می‌آیند و به همراه گرانیت‌وئیدهای نوع A ظاهر می‌شوند. توقف این ماقمای



شکل ۱۴ نمودارهای مختلف تعیین خاستگاه و زیر رده‌بندی گرانیتوئیدهای نوع A از [۶] و قرارگیری نمونه‌های توده‌ی گرانیتوئیدی تویه-دروار در قلمرو گرانیتوئیدهای نوع گوشه‌ای.

قابل توجهی از سنگ‌های آذرین به شکل خروجی و نفوذی تشکیل شده است. این سنگ‌ها در درون گنبدهای نمکی پرکامبرین پسین-کامبرین زاگرس، در نهشته‌های پرکامبرین پسین-کامبرین ایران مرکزی در داخل سری‌های ریزو و دزو [۳۱، ۳۰، ۴۵-۴۳] و اردوبویسین-سیلورین ایران مرکزی در داخل سازندهای سلطانیه، باروت، زاگون، لالون، کالشانه، درنجال و شیرگشت به صورت دایک، سیل و توده‌های نفوذی کوچک و در سازند نیور به شکل خروجی [۴۸-۴۷] و اردوبویسین-سیلورین البرز در سازندهای قلی و سلطان میدان [۵۰، ۴۹، ۲۹-۲۷] به دفعات گزارش شده‌اند. [۵۳] براساس داده‌های دیرین مغناطیس، دریافتند که ایران تا زمان کربونیفر آغازین به گندوانا متصل بوده و در خلال پرمین پایانی-تریاس آغازین، هم در حاشیه گندوانایی در نیمکره جنوبی و هم در حاشیه سواحل لوراژایی در نیمکره شمالی قرار داشته است. درنتیجه، بلوک ایران قبل از پرمین پایانی (۲۸۰ میلیون سال قبل) در نیمکره جنوبی و در آغاز تریاس پایانی (۲۴۵ میلیون سال قبل) در نیمکره شمالی بوده است. بنابراین، پنهانه‌ی ۲۵۰۰ تا ۳۰۰۰ کیلومتری پالئوثوتیس را در خلال یک دوره زمانی ۳۵ میلیون ساله با سرعت ۷ تا ۸ سانتیمتر در سال پیموده و این اقیانوس را بسته است. زمان پایانی این برخورد در تریاس پایانی بوده، بهطوری که نهشته‌های گروه شمشک به سن تریاس فوقانی-ژوراسیک میانی به صورت ناهمشیب،

به هر حال، ایجاد گرانیتوئیدهای نوع A ممکن است در جایگاه‌های زمین‌ساختی مختلف، در اثر فرایندهای چندگانه و در نسبت‌های مختلف پوسته/گوشه از زدهد. این امر از چندگانگی و پیچیدگی فرایندها و مدل‌های تشکیل آنها حکایت می‌کند. این گرانیتوئیدها، شاخص زون‌های کافتی و بخش‌های داخلی ورقه‌های قاره‌ای هستند [۲۱] و غالباً در انتهای چرخه‌ی ماقمایی یا کوهزایی در هر ایالت پوسته‌ای خاص و پس از ایجاد دیگر گرانیتوئیدها تشکیل می‌شوند [۸].
مجموع نتایج حاصل از بررسی‌های صحرایی، سنگ نگاری و ژئوشیمیابی، ماهیت گرانیتوئیدی نوع A توده‌ی نفوذی تویه-دروار و ارتباط آن به ماقماییسم کافتی پالئوزوئیک زیرین (اردوبویسین-سیلورین) ایران مرکزی و البرز را نشان می‌دهد. پژوهشگران مختلف به یکپارچگی گندوانایی زون‌های ایران مرکزی و البرز و سرگذشت زمین‌شناسی، بهخصوص تکتونوماگمایی مشترک آنها، در طول پروتروزوئیک-پالئوزوئیک اشاره داشته‌اند [۴۲، ۴۶، ۵۰، ۴۶، ۴۶-۸۰، ۵۳]. براساس نظر [۴۲] واحدهای سنگی پرکامبرین پسین-کامبرین ایران (زاگرس، ایران مرکزی، البرز) به عنوان اولین چرخمهای رسوبی، روی حاشیه‌ی واگرایی کافتی پروپوپالئوثوتیس که سرزمین گندوانایی یکپارچه ایران را دربر می‌گرفته است، رسوب‌گذاری کرده‌اند. با پیشرفت واگرایی این کافت، کاهش فشار بر گوشه، وقوع ذوب بخشی و صعود دیاپیری آن، حجم

صنعتی شاهروд است و بدین لحاظ از حوزه‌ی پژوهشی دانشگاه به خاطر تأمین هزینه‌های مالی، انجام کار تشکر می‌کنیم.

مراجع

- [1] Bonin B., "A-type granites and related rocks: evolution of a concept, problems and prospects", *Lithos* 97 (2007) 1–29.

[2] Chappell B.W., White A.J.R., "Two contrasting granite types", *Pacific Geology* 8 (1974) 173–174.

[3] White A.J.R., "Sources of granite magmas", Geological Society of America Abstract with Programs 11 (1979) 539.

[4] Loiselle M.C., Wones D.R., "Characteristics and origin of anorogenic granites", Geological Society of America, Abstract with Programs 11 (1979) 468.

[5] Eby G.N., "The A-type granitoids, a review of their occurrence and chemical characteristics and speculations on their petrogenesis", *Lithos* 26 (1990) 115–134.

[6] Eby G.N., "Chemical subdivision of the A-type granitoids, petrogenetic and tectonic implications", *Geology* 20 (1992) 641–644.

[7] Castroo A., Moreno-Ventas I., de la Rosa J. D., "H-type (hybrid) granitoids: a proposed revision of the granite-type classification and nomenclature", *Earth Science Reviews* 31 (1991) 237–253.

[8] Creaser R.A., Price R.C., Wormald R.J., "A-type granites revisited: Assessment of a residual-source model", *Geology* vol. 19 (1991) 163–166.

[9] Landenberger B., Collins W.J., "Derivation of A-type Granites from a Dehydrated Charnockitic Lower Crust: Evidence from the Chaelundi Complex, Eastern Australia", *Journal of Petrology* Vol. 37 (1996) 145–170.

[10] Didier J., Duthou J.L., Lameyre J., "Mantle and crustal granites: Genetic classification of orogenic granites and the nature of their enclaves", *Journal of Volcanology and Geothermal Research* 14 (1982) 125–132.

[11] Lyakhovich V.V., "Mantle Granitoids", *International Geology Review*, (1988) 1257–1271

[۱۲] قاسمی ح، "بررسی پترولوژی و زمین‌شناسی سنگ‌های آذرین نفوذی منطقه‌ی بوئین – میاندشت، جنوب شرقی الیگودرز"، پایان‌نامه کارشناسی ارشد، دانشکده علوم دانشگاه تهران، (۱۳۷۱)، ۲۳۹ صفحه.

[۱۳] ولی‌زاده م. و، قاسمی ح، "پتروژئز تووده گرانیتیوئیدی بوئین – میاندشت، جنوب شرقی الیگودرز"، *فصلنامه علم زمین*، سازمان زمین‌شناسی کشور، شماره ۷ (۱۳۷۲) ص ۸۳ – ۷۴

[۱۴] قاسمی ح، رمضانی ا. خانعلی‌زاده ع، "سنگ‌شناسی، ریوژنیمی و جایگاه زمین‌ساختی- مagmaی توده آذرین نفوذی

نهشته‌های قبلی را پوشانده است. به علاوه، دگرگونی و مagematism وابسته به این رخداد در مشهد به صورت گستردگی از شده است [۱۴] و به نظر می‌رسد که دگرگونی شیسته‌های گرگان نیز به همین رخداد وابسته باشد. بنابراین، با توجه به رژیم ماقما زمین ساخت حاکم بر ایران در زمان پالئوزوئیک زیرین، توده‌ی گرانیتوئیدی توپه‌دروار نیز همانند دیگر توده‌های مشابه در ایران مرکزی، به عنوان محصول ذوب بخشی یک سنتون گوشته‌ی آستنوسفری بالاً‌آمدۀ در زیر پوسته‌ی قاره‌ای و آلایش آن با گدازه‌ی پوسته‌ای، در یک محیط کششی کافتی مرتبط با آغاز بازشدن پالئوتیس و مagematism وابسته به آن، در فاصله زمانی ارددویسین-سیلورین، به صورت گرانیتوئید خشک نوع A تشکیل شده و به درون واحدهای سنگی پرکامبرین پسین- کامبرین منطقه، در عمق کم نفوذ کرده است.

برداشت

بر اساس بررسی‌های صحرایی، سنگ‌نگاری و ژئوشیمیایی، توده‌ی گرانیتوئیدی توییدروار با طیف ترکیبی دیوریت، مونزونویت، مونزونیت، کوارتزمونزونیت و گرانوپیریت و پیشگی‌های شاخص گرانیتوئیدهای ناکوهزایی، در دنباله‌های رسوبی سازنده‌های بایندر، سلطانیه، باروت، زاگون و لالون (پرکامبرین پسین- کامبرین) منطقه نفوذ کرده و سنگ میزبان آن، سازند جیرود نیست. بنابراین، برخلاف آنچه در نقشه‌ی زمین‌شناسی ۱۱۰۰۰۰۱ از منطقه آمده است، سن آن قدیمی‌تر از دونین فوکانی و احتمالاً در گستره‌ی زمانی اردوویسین- سلولوپین است.

در تقسیم‌بندی سنگ‌های گرانیت‌وئیدی، این توده براساس موقعیت ژئودینامیکی و جایگاه زمین‌ساختی دیرین، روابط صحرایی با سنگ‌های میزان، ویزگی‌های سنگ نگاری و ماهیت ژئوشیمیایی خود، در زمرة گرانیت‌وئیدهای ناکوهزایی نوع A بهطور دقیق‌تر نوع A₁ قرار می‌گیرد. با توجه به ماغماتیسم نسبتاً گستردۀ در طول پالئوزوئیک زیرین و بهخصوص زمان اردوویسین- سیلورین در زون‌های البرز و ایران مرکزی، در ارتباط با بازشدن حوضه‌ی اقیانوسی پالئوتیس، به نظر می‌رسد که این توده نیز به مراحل آغازین همین ماغماتیسم وابسته بوده، در اثر ذوب بخشی گوشه‌های آستنوسفری بالا آمده زیر لیتوسفر قاره‌ای و آلایش ماغمای جدایشی حاصل از آن با گدازه‌ی یوسته‌ای، در همین زمان تشکیل شده باشد.

قدر دانی

این مقاله، حاصل طرح پژوهشی به شماره ۲۱۰۲۲ در دانشگاه

- [۲۷] خانعلی زاده ع، "پترولوزی و ژئوشیمی توده کوارتز مونزونیتی تویه دروار، جنوب غرب دامغان"، پایان نامه کارشناسی ارشد، دانشکده علوم زمین دانشگاه صنعتی شاهروд، (۱۳۸۴) ص ۱۴۳.
- [۲۸] خانعلی زاده ع، قاسمی ح، "پترولوزی، ژئوشیمی و جایگاه تکتونیکی توده کوارتز مونزونیتی تویه دروار، جنوب غرب دامغان"، مجموعه مقالات نهمین همایش انجمان زمین شناسی ایران، دانشگاه تربیت معلم تهران (۱۳۸۴)، ص ۵۶۳-۵۵۳.
- [۲۹] Khanalizadeh A., Ghasemi H., Sadeghian A., Abedi A., "Geochemical investigation on quartz-monzonite pluton of Tuye-darvar in eastern Alborz structural zone, Damghan, north-east of Iran", *Geochemica et Cosmochimica Acta*, Vol. 70, Issue, 18 (2006) A316.
- [۳۰] بлагایی ز، "پترولوزی و ژئوشیمی سنگ‌های آذرین جنوب بهاباد بزد"، پایان نامه کارشناسی ارشد، دانشکده علوم زمین دانشگاه صنعتی شاهرود، (۱۳۸۷) ص ۲۵۰.
- [۳۱] بлагایی ز، صادقیان م، قاسمی ح، خانعلی زاده ع، "پترولوزی و ژئوشیمی سنگ‌های آذرین جنوب بهاباد بزد-بازار افق-بزد"، شانزدهمین همایش انجمان بلورشناسی و کانی شناسی ایران، دانشگاه گیلان، (۱۳۸۷) ص ۳۶۷ تا ۳۷۲.
- [۳۲] امینی ص، روانخواه ع، مؤید م، "سنگ‌شناسی و سنگ-زایی توده‌های آذرین دیوان داغی-قره‌گوز شمال مرند (آذربایجان شرقی)", مجله بلورشناسی و کانی شناسی ایران، سال شانزدهم، شماره دوم (۱۳۸۷) ص ۲۶۴-۲۴۹.
- [۳۳] Sepahi A.A., Athari S.F., "Petrology of major granitic plutons of the northwestern part of the Sanandaj-Sirjan Metamorphic Belt, Zagros Orogen, Iran: with emphasis on A-type granitoids from the SE Saqqez area", *Neues Jahrbuch für Mineralogie Abhandlungen* 183 (2006) 93-106.
- [۳۴] Mansouri Esfahani M., Khalili M., Kochhar N., Gupta L.N., "A-type granite of the Hasan Robat area (NW of Isfahan, Iran) and its tectonic significance", *Lithos* 102 (2010) 415-434.
- [۳۵] نبوی م، ح، "دبیاچه‌ای بر زمین‌شناسی ایران"، انتشارات سازمان زمین‌شناسی (۱۳۵۵) ص ۱۰۹.
- [۳۶] سعیدی ع، اکبرپور م. ر، "نقشه زمین‌شناسی ورقه ۱/۱۰۰۰۰۰ کیاپسرا"، سازمان زمین‌شناسی و اکتشافات معدنی ایران (۱۳۷۱).
- [۳۷] مقدسی ص، قاسمی ح، "زمین‌شناسی و ژئوشیمی سنگ‌های آذرین قاعده سازند شمشک در البرز شرقی"، چکیده مقالات بیست و دومین گردهمایی علوم زمین، سازمان زمین شناسی کشور، تهران (۱۳۸۲) ص ۲۷۲-۲۷۱.
- سیلیجرد، شمال باخته ساوه، فصلنامه علوم زمین، سازمان زمین شناسی کشور، شماره ۶۷ (۱۳۸۶) ص ۸۵-۶۸.
- [۱۵] قاسمی ح، صادقیان م، کرد م، خانعلی زاده ع، "سازوکار شکل‌گیری با تولیت گرانیتی‌بندی زاهدان، جنوب شرق ایران"، مجله بلورشناسی و کانی شناسی ایران، سال هفدهم، شماره چهارم (۱۳۸۸) ص ۵۷۸-۵۵۱.
- [16] Yang J.H., Wu F.Y., Chung S.L., Wilde S.A., Chu M.F., "A hybrid origin for the Qianshan A-type granite, northeast China: Geochemical and Sr-Nd-Hf isotopic evidence", *Lithos* 89 (2006) 89-106.
- [17] Martin R.F., "A-type granites of crustal origin ultimately results from open-system fenitization-type reactions in an extensional environment", *Lithos* 91 (2006) 125-136.
- [18] Collins W.J., Beams S.D., White A.J.R., Chappell B.W., "Nature and origin of A-type granites with particular reference to southeastern Australia", *Contributions to Mineralogy and Petrology* 80 (1982) 189-200.
- [19] Whalen J.B., Currie K.L., Chappell B.W., "A-type granites: geochemical characteristics, discrimination and petrogenesis", *Contributions to Mineralogy and Petrology* 95 (1987) 407-419.
- [20] Barbarin B., "A review of the relationships between granitoid types, their origins and their geodynamic environments", *Lithos* 46 (1999) 605-626.
- [21] Blatt H., Tracy R.J., Owens B.E., "Petrology: Igneous, Sedimentary and Metamorphic", Freeman and Company (2006) 530p.
- [22] Dargahi S., Arvin M., Pan Y., Babaei A., "Petrogenesis of post-collisional A-type granitoids from the Urumieh-Dokhtar magmatic assemblage, Southwestern Kerman, Iran: Constraints on the Arabian-Eurasian continental collision", *Lithos* 115 (2010) 190-204.
- [23] Huppert H., Sparks R.S., "The Generation of Granitic Magma by Intrusion of Basalt into Continental Crust", *Journal of Petrology* Vol. 29 part3 (1988) 599-624.
- [24] Clemens J.D., Holloway J.R., White A.J.R., "Origin of A-type granites, experimental constraints", *American Mineralogist* 71 (1986) 317-324.
- [25] Clarke D.B., "granitoid rocks", Chapman & Hall publisher, London (1992) 283p.
- [۲۶] موسوی مکوبی س. ع، وثوقی عابدینی م، "معرفی توده گرانیتی ناریگان به عنوان گرانیت نوع I تفرقی یافته با ویژگی‌هایی از گرانیت نوع A"، مجموعه مقالات چهارمین همایش انجمان زمین‌شناسی ایران، دانشگاه تبریز (۱۳۷۹) ص ۶۲۳-۶۲۱.

ایران مرکزی"، مجله بلورشناسی و کانی شناسی ایران، سال شانزدهم، شماره دوم (۱۳۸۷) ص ۲۰۷ تا ۲۲۴.

[49] Jenny J., "Géologie et stratigraphie de Elburz oriental entre Aliabad et Shahrud, Iran", Thèse Université de Genève (1977) 238pp (Unpublished).

[50] Ghavidel-Syooki M., "Palynostratigraphy and Palaeogeography of the Upper Ordovician Gorgan Schists (Southeastern Caspian Sea), Eastern Alborz Mountain Ranges, Northern Iran", Comunicações Geológicas t. 95 (2008) 123-155

[51] Worthing M.A., Nasir S., "Cambro-Ordovician potassic (alkaline) magmatism in Central Oman: Petrological and geochemical constraints on petrogenesis", Lithos 106 (2008) 25-38.

[52] Torsvik T.H., Cocks L.R.M., "The Lower Palaeozoic palaeogeographical evolution of the northeastern and eastern peri-Gondwanan margin from Turkey to New Zealand", In: Bassett, M. G. (ed.). Early Palaeozoic Peri-Gondwana Terranes: New Insights from Tectonics and Biogeography. Geological Society, London, Special Publications (2009) 325.

[53] Muttoni G., Mattei M., Balini M., Zanchi A., Gaetani M., Berra F., "The drift history of Iran from the Ordovician to the Triassic", Geological Society, London, Special Publications (2009) 7-29.

[54] White J.C., Ren M., Parker D.F., "Variation in mineralogy, temperature, and oxygen fugacity in a suite of strongly peralkaline lavas and tuffs, Pantelleria, Italy", Canadian Mineralogy 43, (2005) 1331-1347.

[55] Vernon R.H., "A Practical Guide to Rock Microstructure", Cambridge: Cambridge University Press (2004) 594pp.

[56] Yuguchi T., Nishiyama T., "The mechanism of myrmekite formation deduced from steady-diffusion modeling based on petrography: Case study of the Okueyama granitic body", Kyushu, Japan" Lithos 106 (2008) 237-260.

[57] Brown M., "Orogeny, migmatites and leucogranites: a review", Proceedings of Indian Academy of Sciences, Earth Planetary Sciences 110 (2001) 313-336.

[58] Didier J., Barbarin B., "Enclaves and granite petrology", Developments in Petrology vol. 13. Elsevier, Amsterdam (1991) 625 p

[59] Reid J.B., Evans O.C., Fates D.G., "Magma mixing in granitic rocks of the central Sierra Nevada, California", Earth and Planetary Science Letters 66 (1983) 243-261.

[60] Middlemost E.A.K., "Magma and magmatic rocks: An Introduction to igneous petrology", Longman Group U.K. (1985) PP 73 - 86.

[61] Peccerillo R., Tylor S.R. "Geochemistry of Eocene calc-alkaline volcanic rocks from the

[۳۸] مقدسی ص، "پترولوزی، پتروزنر و جایگاه چینه نگاری و لکانیکهای ژوراسیک در زون البرز شرقی"، پایان‌نامه کارشناسی ارشد، دانشکده علوم پایه، دانشگاه صنعتی شاهroud (۱۳۸۲)، ۱۱۴ صفحه.

[۳۹] جمشیدی خ، قاسمی ح، "ژئوشیمی و جایگاه تکتونیکی تشکیل توده بازیک تالو، شمال دامغان"، بیست و هفتمین گردهمایی علوم زمین و سیزدهمین همایش انجمن زمین شناسی ایران، تهران (۱۳۸۸).

[۴۰] جمشیدی خ، "مطالعه magma تیسم مافیک قاعده سازند شمشک در زون البرز شرقی"، پایان‌نامه کارشناسی ارشد، دانشکده علوم زمین، دانشگاه صنعتی شاهroud (۱۳۸۹)، ۱۵۱ صفحه.

[۴۱] قوچی اصل ا، "نهشته‌های طوفانی آواری و کربناته سازند جیروود در ناحیه تویه‌دروار، جنوب باختر دامغان"، پایان‌نامه کارشناسی ارشد، دانشگاه تهران، (۱۳۸۳).

[۴۲] لاسمی ا، "رخسارهای و محیط‌های رسوبی و چینه-نگاری سکانسی نهشته سنگ‌های پرکامبرین بالایی و پالئوزوئیک ایران"، ناشر سازمان زمین‌شناسی و اکتشافات معدنی ایران (۱۳۷۹)، ۱۸۰ صفحه.

[۴۳] ناجی آ، "موقعیت چینه‌شناسی، پترولوزی و ژئوشیمی سنگ‌های آذرین پالئوزوئیک زیرین منطقه قوشه، جنوب غرب دامغان، ناحیه جام"، پایان‌نامه کارشناسی ارشد، دانشکده علوم زمین دانشگاه صنعتی شاهroud، (۱۳۸۳)، ۱۰۱ صفحه.

[۴۴] قاسمی ح، ناجی آ، "پتروزنر سنگ‌های آذرین پالئوزوئیک زیرین-میانی بخش‌هایی از ایران مرکزی"، مجموعه مقالات هشتمین همایش انجمن زمین‌شناسی ایران، دانشگاه صنعتی شاهroud، (۱۳۸۳) ص ۳۹۷-۳۸۸.

[45] Haghipour A., "Etude géologique de la région de Biabanak-Bafq (Iran Central), Petrologie et tectonique du socle precambrien et de sa couverture. These, Université scientifique et medicale de Grenoble", France, (1974) 403p.

[46] Berberian M., King G.C.P., "Towards a palaeogeography and tectonic evolution of Iran", Canadian Journal of Earth Sciences 18 (1981) 210-265.

[۴۷] درخشی م، "پترولوزی، ژئوشیمی و موقعیت چینه‌شناسی سنگ‌های آذرین پالئوزوئیک زیرین منطقه شیرگشت، شمال غرب طبس"، پایان‌نامه کارشناسی ارشد، دانشکده علوم زمین، دانشگاه صنعتی شاهroud (۱۳۸۵) ۱۵۶ صفحه.

[۴۸] قاسمی ح، درخشی م، "کانی‌شناسی، ژئوشیمی و نقش فرایند جدایش مکانیکی بلورهای الیوین در تشکیل سنگ‌های آذرین پالئوزوئیک زیرین منطقه شیرگشت، شمال غرب طبس،

- [75] Aharipour R., Moussavi M.R., Mosaddegh H., Mistiaen B., "Facies features and paleoenvironmental reconstruction of the Early to Middle Devonian syn-rift volcano-sedimentary succession (Padeha Formation) in the Eastern-Alborz Mountains, NE Iran", *Facies* 56 (2010) 279–294, DOI 10.1007/s10347-009-0200-x.
- [76] Kearey P., Klepeis K.A., Vine F.J., "Global tectonics", John Wiley & Sons Ltd. (2009) 495pp.
- [77] King P.L., Chappell B.W., Allen C.M., White A.J.R., "Are A-type granites the hightemperature felsic granites? Evidence from fractionated granites of the Wangrah Suite", *Australian Journal of Earth Sciences* 48 (2001) 501–514.
- [78] Zhao X., Zhou M.F., Li J.W., Wu F.Y., "Association of Neoproterozoic A- and I-type granites in South China: implications for generation of A-type granites in a subduction-related environment", *Chemical Geology* 257 (2008) 1–15.
- [79] Kleeman G.J., Twist D., "The compositionally-zoned sheet-like granite pluton of the Bushveld Complex: evidence bearing on the nature of A-type magmatism", *Journal of Petrology* 30 (1989) 1383–1414.
- [80] Stocklin J., "Structural history and tectonics of Iran; a review", *American Association of Petroleum Geologists Bulletin* 52, (1968) 1229–1258.
- [81] Glonka J., "Plate tectonic evolution of the southern margin of Eurasia in the Mesozoic and Cenozoic", *Tectonophysics* 381 (2004) 235–273.
- [82] Wendt J., Kaufmann B., Belka Z., Farsan N., Bavandpur A.K., "Devonian/Lower Carboniferous stratigraphy, facies patterns and palaeogeography of Iran Part II. Northern and central Iran", *Acta Geologica Polonica*, v. 55, no. 1 (2005) 31–97.
- [83] Ghavidel-syooki M., Owens B., "Palynostratigraphy and palaeogeography of the Padeha, Khoshyeilagh, and Mobarak formations in the eastern Alborz Range (Kopet-Dagh region), northeastern Iran", *Revue de micropaléontologie* 50 (2007) 129–144.
- [84] Majidi B., "Etude petrostructurale de la region Mashhad (Iran)", Diss Univ. Gronoble, (1978) 277p.
- [85] Kastamonu area, north Turkey", Contributions to Mineralogy and Petrology 58 (1976) 63–81.
- [62] Frost P., "A geochemical classification for granitic rocks", *Journal of Petrology*. Vol 42 (2001) 19 – 41.
- [63] Maniar P.D., Piccoli P.M., "Tectonic discrimination of granitoids", *Geological Society of America Bulletin* 101(1989) 635–643.
- [64] Nakamura N., "Determination of REE, Ba, Fe, Mg, Na and K in Carbonaceous and ordinary chondrites", *Geochim. Cosmochim. Acta* 38 (1974) 757–775.
- [65] Sun S.S., McDonough W.F., "Chemical and isotopic systematics of oceanic basalts: implications for mantle composition and processes.", In: Saunders, A.D., Norry, M.J. (Eds.), *Magma in Ocean Basins*. Geological Society of London, Special Publication 42 (1989) 313–345.
- [66] Rollinson H., "Using geochemical data, evaluation, presentation, interpretation", Addison-Wesley/Longman, Harlow, England (1993) 352 p.
- [67] Whalen J.B., Jenner G.A., Longstaffe F.J., Robert F., Gariepy C., "Geochemical and isotopic (O , Nd , Pb and Sr) constraints on A-type granite petrogenesis based on the Topsails Igneous Suite, Newfoundland Appalachians", *Journal of Petrology* 37 (1996) 1463–1489.
- [68] Rogers J.J.W., Rayland P.C., "Trace elements in continental margin magmatism", Part I. *Geol. Soc. Am. Bull.* 91 (1980) 196–198.
- [69] Rogers J.J.W., Suayah I.B., Edwards J.M., "Trace elements in continental margin magmatism", Part IV. *Geol. Soc. Am. Bull.* 95 (1984) 1437–1445.
- [70] Rogers J.J.W., Greenberg J.K., "Late-orogenic, post-orogenic, and anorogenic granites, distinction by major-element and trace element chemistry and possible origins", *Journal of Geology* 98 (1990) 291–309.
- [71] Cheng H. et. al., "Petrology and geochemistry of neogenecontinental basaltic and related rocks in Northern Taiwan", *Western Pacific earth sciences*. Vol.1, No1((2001)) 19–46.
- [72] Zen E.An., "Aluminum enrichment in silicate melts by fractional crystallization, some mineralogical and petrographic constraints", *Journal of Petrology* 27 (1986) 1095–1118.
- [73] Pearce J.A., Harris N.B.W., Tindle A.G., "Trace element discrimination diagrams for the tectonic interpretation of granitic rocks", *Journal of Petrology* 25 (1984) 956–983.
- [74] جعفریان م. ر., "پترولوجی و ژئوشیمی ماقمایسم مافیک پالئوزوئیک زیرین در البرز شرقی، ناحیه شاهرود- خوش بیلاق"، پایان نامه دکتری، دانشگاه آزاد اسلامی، واحد علوم و تحقیقات (۱۳۸۸) ۲۹۵ صفحه.